



بحوث جغرافية



سلسلة محاكمة غير دورية تصدرها الجمعية الجغرافية السعودية

٦١

دراسة تحليلية لصور الرادار الروسي "الماز"
المأخوذة لمدينة الرياض



أ.د. عبد الله الصادق علي

جامعة الملك سعود - الرياض - المملكة العربية السعودية

٢٠٠٤ هـ - ١٤٢٥ م



بصوٹ جغرافیۃ

سلسلة مكملة غير دورية تصدرها الجمعية الجغرافية السعودية

٦١

دراسة تحليلية لصور المرادار الروسي "الماز"
المأهولة لمدينة الرياض

أ.د. عبد الله الصادق علي

جامعة الملك سعود - الرياض - المملكة العربية السعودية

٢٠٠٤ - ١٤٢٥

ISSN 1018-1423
Key title=Buhut gugrafiyya

● مجلس إدارة الجمعية الجغرافية السعودية

- | | |
|--------------------------------|-------------------------|
| أ.د. محمد شوقي بن إبراهيم مكي | رئيس مجلس الإدارة. |
| د. محمد بن صالح الريدي | نائب رئيس مجلس الإدارة. |
| د. عبدالله بن حمد الصليح | أمين السر. |
| د. محمد بن عبد الله الفاضل | أمين المال. |
| أ.د. علي بن محمد شيبان العريشي | عضو مجلس الإدارة. |
| د. محمد بن عبد الحميد مشخص | عضو مجلس الإدارة. |
| د. معراج بن نواب مرزا | عضو مجلس الإدارة. |
| د. عنبرة بنت حميس بلال | عضو مجلس الإدارة. |
| أ. محمد بن أحمد الراشد | عضو مجلس الإدارة. |

● الجمعية الجغرافية السعودية، ١٤٣٨ـ

فهرسة مكتبة الملك فهد الوطنية أثناء النشر
علي، عبد الله الصادق

دراسة لصور الرادار الروسي الماز المأخوذ لمدينة الرياض. /عبد الله الصادق علي-الرياض ١٤٢٥ـ

. ٦٤ ص، ١٧×٢٤ سم، - (بحوث جغرافية، ٦١).

ردمك: ٩-٤٤٢٤-٩٩٦٠

١-الرياض-صور ٢-الرياض-جغرافيا أ. العنوان ب. السلسلة
دبوى ٣١١١١ ٩١٥، ١٤٢٥/١٠٤٠

رقم الإيداع: ١٤٢٥/١٠٤٠
ردمك: ٩-٤٤٢٤-٩٩٦٠

قواعد النشر

- ١- يراعى في البحوث التي تولى سلسة "بحوث جغرافية" ، نشرها ، الأصالة العلمية وصحة الإخراج العلمي وسلامة اللغة .
- ٢- يتشرط في البحث المقدم للسلسلة ألا يكون قد سبق نشره من قبل .
- ٣- ترسل البحوث باسم رئيس هيئة تحرير السلسلة .
- ٤- تقدم جميع الأصول مطبوعة على نظام MS WORD ببيانات التوازن (Windows) على ورق بحجم A4، مع مراعاة أن يكون النسخ على وجه واحد، ويترك فراغ ونصف بين كل سطر وآخر بخط Monotype Kouffi للتن و بالخط Arabic Traditional للعنوانين ، ويقطع ١٦ أبيض اللون وبخط ١٢ أبيض للواسش (بنط أسود للآيات القرآنية والأحاديث الشرفية). ويمكن أن يكون الحد الأعلى للبحث [٧٥] صفحة، والحد الأدنى [١٥] صفحة.
- ٥- يرسل أصل البحث مع صورتين وملخص في حدود (٢٥٠) كلمة باللغتين العربية والإنجليزية .
- ٦- يراعى أن تقدم الأشكال مرسومة بالخبر الصيني على ورق (كلك) مقاس ١٨٠*١٣ سم، وترفق أصول الأشكال بالبحث ولا تلصق على أماكنها .
- ٧- ترسل البحوث الصالحة للنشر والمختارة من قبل هيئة التحرير إلى محكمين اثنين على الأقل - في مجال الشخص من داخل أو خارج المملكة قبل نشرها في السلسلة .
- ٨- تقوم هيئة تحرير السلسلة بإبلاغ أصحاب البحوث بتاريخ تسلم بحوثهم . وكذلك بإبلاغهم بالقرار النهائي المتعلّق بقبول البحث للنشر من عدمه مع إعادة البحوث غير المقبولة إلى أصحابها .
- ٩- يمنع كل باحث أو الباحث الرئيسي لمجموعة الباحثين المشتركين في البحث خمساً وعشرين نسخة من البحث المنشور .
- ١٠- تطبيق قواعد الإشارة إلى المصادر وفقاً الآتي :

يستخدم نظام (اسم / تاريخ) ويعتّضي هذا النظام الإشارة إلى مصدر المعلومة في المتن بين قوسين باسم المؤلف متبعاً بالتاريخ ورقم الصفحة . وإذا تكرر المؤلف نفسه في مراجعين مختلفين يذكر

اسم المؤلف ثم يتبع بسنة المرجع ثم رقم الصفحة. أما في قائمة المراجع فيستوجب ذلك ترتيبها هجائياً حسب نوعية المصدر كالتالي :

الكتب : يذكر اسم العائلة للمؤلف (المؤلف الأول إذا كان المرجع أكثر من مؤلف واحد) متبوعاً بالأسماء الأولى، ثم سنة النشر بين قوسين، ثم عنوان الكتاب، فرقم الطبعة-إإن وجد- ثم الناشر، وأخيراً مدينة النشر .

الدوريات : يذكر اسم عائلة المؤلف متبوعاً بالأسماء الأولى، ثم سنة النشر بين قوسين، ثم عنوان المقالة، ثم عنوان الدورية، ثم رقم المجلد، ثم رقم العدد، ثم أرقام صفحات المقال، (ص . ١٥-٥).

الكتب المحررة : يذكر اسم عائلة المؤلف متبوعاً بالأسماء الأولى، ثم سنة النشر بين قوسين، ثم عنوان الفصل، ثم يكتب (in) تختها خط، ثم اسم عائلة المحرر متبوعاً بالأسماء الأولى، وكذلك بالنسبة للمحررين المشاركيين، ثم (محرر ed. أو محررين eds) ثم عنوان الكتاب، ثم رقم المجلد، فرقم الطبعة، وأخيراً الناشر، فمدينة النشر .

الرسائل غير المنشورة : يذكر اسم عائلة المؤلف متبوعاً بالأسماء الأولى، ثم سنة الحصول على الدرجة بين قوسين، ثم عنوان الرسالة، ثم يحدد نوع الرسالة (ماجستير/دكتوراه)، ثم اسم الجامعة والمدينة التي تقع فيها .

أما المواضي فلا تستخدم إلا عند الضرورة الفصوى وتحصى لللاحظات والتطبيقات ذات القيمة في توضيح المقص .

تشرف بالباحث : أ. د. عبد الله علي الصادق، كلية الهندسة، جامعة الملك سعو، الرياض.

المؤشر

يعتبر التابع "الماز" الذي أطلقته وكالة الفضاء الروسية في عام ١٩٩١ م أول قمر صناعي روسي يحمل جهاز رادار فضائي لأغراض تجارية. زُوّد مركز الأبحاث بكلية الهندسة في جامعة الملك سعود كاتب هذا البحث بصورة أخذت بهذا الجهاز تغطي مدينة الرياض وما حولها على مقاييس ١٥٠٠٠٠ / ١ ، بغرض دراسة الدقة الكارتوجرافية لهذا الجهاز الحديث في تطبيقات الدراسات الأمنية الحضرية ، وجمع المعلومات ، وما يتعلق بذلك من التطبيقات . لهذا الغرض أخذت الصورة لسلسلة من التجارب بدءاً من التفسير الصوري المباشر إلى استعمال معادلات رياضية معقدة لتحويل إحداثيات الصورة الرادارية إلى الإحداثيات الأرضية. وقد أثبتت الدراسة أن هذا الرادار الفضائي الروسي يحوي الكثير من الأخطاء الهندسية التي تؤثر على قدرته في جمع المعلومات ، واكتشاف وتحديد الواقع والأهداف الأرضية. هذا وقد بين الجزء التفسيري من الدراسة أن الخواص التصويرية لجهاز الرادار تحكم بدرجة كبيرة في تفسير المعالم المضورة. فمثلاً يمكن أن يظهر معلم طولي معين (طريق أو خط كهربائي) بوضوح أو لا يظهر أبداً اعتماداً على الزاوية التي يشكلها هذا المعلم مع خط الطيران الأرضي للقمر الصناعي. وعليه إذا ما دمجنا نتائج جزئي الدراسة التحليلي والتفسيري يمكننا القول أن صور رادار الماز تصلح لجمع معلومات عن المنطقة المصورة على مقاييس ١ / ٢٥٠٠٠٠ (أي أن ١ ملم على الخريطة يمثل ٢٥٠ متراً على الأرض) وأصغر. هذا القدر والمستوى من المعلومات قد يكون مفيداً وضرورياً في حالة الحاجة الماسة لمعلومات عن طبيعة المنطقة المصورة مع عدم توفر أو صعوبة الحصول على أنواع أخرى من مصادر المعلومات.

مقدمة

ظل جهاز الاستشعار عن بعد المسمى بالرادار "Radar" تحت المظلة الأمنية العسكرية لفترة طويلة ، امتدت زهاء الأربعين عاماً منذ اختراعه أثناء الحرب العالمية الثانية. ولكن في نهاية ستينيات القرن المنصرم بدأت بعض المعلومات عن جهاز الرادار تظهر لمستخدمي تقنيات الاستشعار عن بعد من المدنيين في المجالات البحثية العلمية العالمية ذات الجودة والسمعة العالية. وكان الغرض الأساس في هذا المنحى هو بحث إمكانية استعمال هذا المخترع الجديد في ترسيم الخرائط ، وإنجاز الأعمال الكارتوجرافية الأخرى ذات الصلة بتفسير وتوقيع المعالم المهمة على سطح الأرض. وما لا شك فيه أن جهاز الرادار كان وما يزال الأكثر غموضاً وتعقيداً ، والأصعب فهماً ، وأن علماء ومهندسي ومتخصصي الرادار هم الأقل عدداً من بين المتخصصين في تكنولوجيا الفضاء والاستشعار عن بعد.

وكلمة رادار Radar في الأصل اختصار للعبارة الإنجليزية Radio Detection and Ranging أي جهاز "كشف الأجسام وقياس مسافاتها بواسطة أشعة الراديو" . والرادار هو جهاز الاستشعار عن بعد المصنف ضمن الأجهزة النشطة أو الفاعلة Active Remote Sensing Systems بالأجهزة السلبية Passive Systems (مثل الكاميرا المحمولة جواً ، والمساحات البصرية) في أنه يولد طاقته الكهرومغناطيسية في داخله ويرسلها إلى الأرض ، حيث تصطدم بالأجسام المراد معرفتها وتعود إدراجها إلى الجهاز ، حيث يتم التعامل معها والاستفادة منها. وبذلك يمكن لجهاز الرادار العمل ليلاً أو نهاراً، في الظلام الدامس أو في رابعة النهار، مما جعل العلماء والمهندسين يطلقون عليه

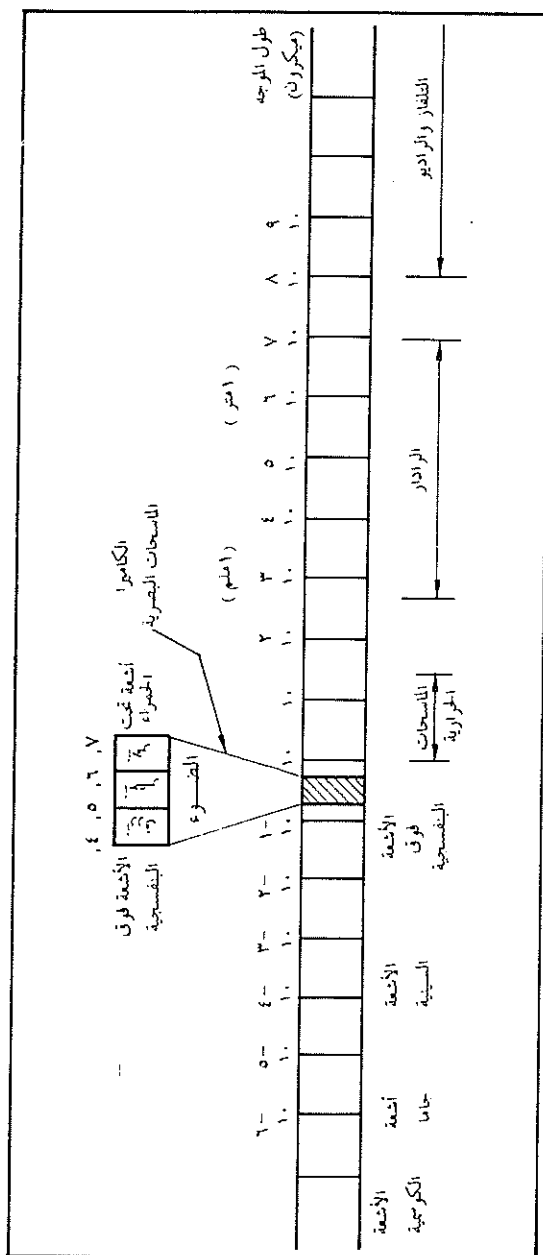
عبارة "نظام كل الطقوس" All Weather System نسبة للطول النسبي لأمواج أشعة الراديو التي يعمل عليها هذا الجهاز (من ٨،٨ ملم إلى ١٠٠ متر) مقارنة بـ ٣٠ ميكرومتر إلى ٢٠ ميكرومتر كما هو الحال في الأجهزة البصرية، انظر الشكل (١) فإن جهاز الرادار يمكنه التقاط صور رادارية للأهداف المراد معرفتها من فوق السحب ، والنسيم ، والأمطار ، والثلوج ، وإلى درجة أقل أثناء هبوب الرياح والعواصف الترابية. وقد استعمل هذا الجهاز كثيراً في السنوات الأخيرة في التصوير الليلي لكشف موقع العدو ، ومعرفة عدد ونوعية آلياته ومدرعاته نسبة لخاصية أخرى يمتاز بها هذا الجهاز ، وهي مقدرتها الفائقة في تحديد وتوضيح الأجسام والمعالم المعدنية الثابتة والمتحركة. الجدول (١) يبين بعض خصائص جهاز الرادار.

جدول رقم (١)

بعض خصائص عناصر جهاز الرادار

يمتاز الرادار الخطاء النباتي وطبقات الأرض حتى ٢٠ متراً.
يمكن التصوير في الليل أو النهار.
يمكنه اختراق السحب والأمطار ، وإلى درجة أقل العواصف الترابية.
إمكانية التحكم في طول الشريط المصور وعرضه وبعده عن الطائرة أو القمر الصناعي.
الدقة التمييزية لا تعتمد على ارتفاع الطائرة في أنواع كثيرة من الرادار.
يمكن الحصول على دقة تمييزية تصل إلى ١٢ متر.
إمكانية الاستفادة من الخاصية الاستقطابية للجهاز في الحصول على صور مختلفة.
تم تطوير أنواع حديثة شمسكئن من النظر الجسم للأرض.
يمكن تصوير وحساب أطوال أمواج المحيطات بدقة عالية حتى من الأقمار الصناعية.
تعالج الصور الرادارية بصرياً أو رقمياً حسب طبيعة المشروع.
إمكان حديثاً إنتاج خرائط للأرض ثلاثة الأبعاد من الرادار.

المساسة الطيفية لبعض أجهزة الاستشعار عن بعد



أنواع الرادار:

هناك نوعان رئيسيان من جهاز الرadar

(أ) مستكشف الواقع الأفقي Plan Position Indicator

(ب) جهاز الرادار ذو النظرة الجانبية Side-Looking Radar

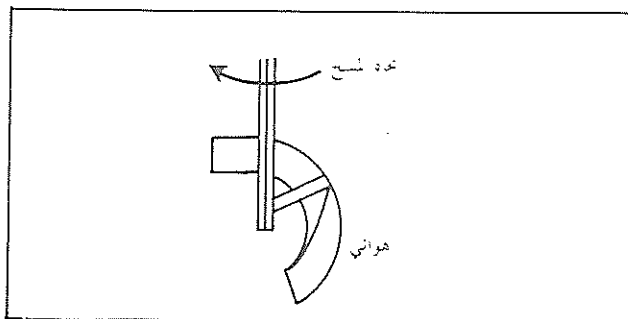
الأنماط الأولية من النوع الأول اخترعت أولاً في ثلثينيات القرن الماضي ، تلتها الأنماط البدائية من النوع الثاني ، والتي اخترعت في خمسينيات نفس القرن ، وكلتا النوعين ظل طي الكتمان داخل المؤسسات العسكرية والأمنية في الولايات المتحدة ، وإنجلترا ، وألمانيا حتى سبعينيات القرن حين بدأت بعض المعلومات عن هذا الجهاز تجد طريقها إلى الجهات المدنية التي لها صلة بتفسير الصور الجوية ، ورسم الخرائط الطبوغرافية بغرض مسح موارد الأرض.

(أ) - مستكشف الواقع الأفقي Plan Position Indicator

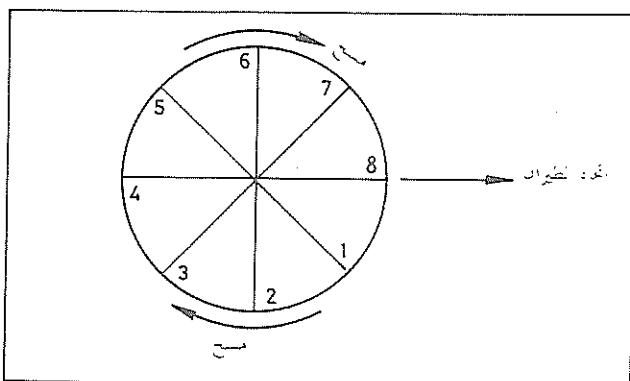
يقوم هذا الجهاز بمسح دائري لسطح الأرض بوساطة هوائي مثبت تحت الطائرة ، يتحرك حركة دائرية حيث يرسل أثناء حركته إشارات كهرومغناطيسية متواصلة نحو الأرض ، ويستلم في الوقت نفسه الإشارات التي عكستها الأجسام أو المعالم المصورة (شكل ٢). ويتم قياس الزمن بين مصدر الأشعة (داخل الطائرة) والجسم العاكس باستعمال جهاز استقبال حساس ، حيث يمكن بعد ذلك قياس المسافة للجسم العاكس بضرب الزمن في سرعة الموجات الكهرومغناطيسية. ويمكن الحصول على صور الأجسام العاكسة بشيئت فيلم

(شکل رقم (٢)

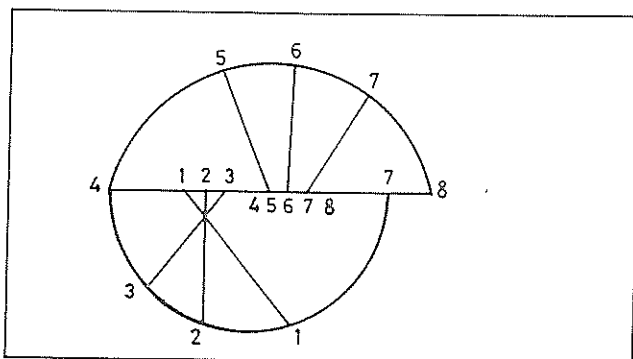
عمل مستكشف الواقع الأفقي



(أ) مستكشف الواقع



(ب) صورة رادارية غير مصححة



(ج) صورة رادارية مصححة

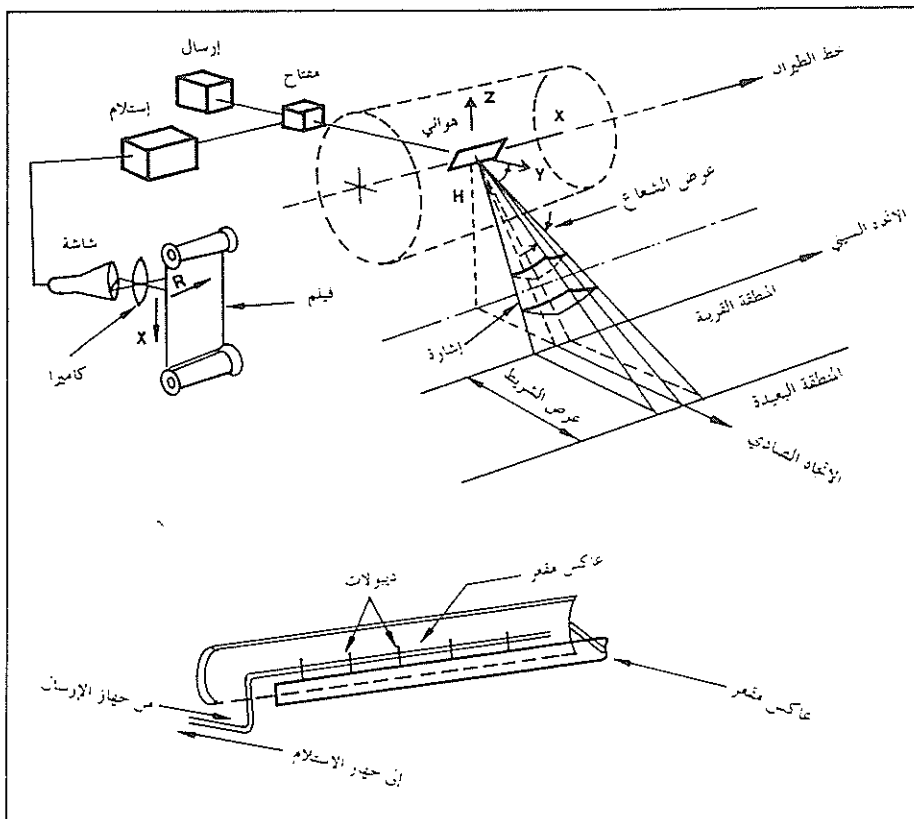
فوتوفغرافي متحرك أمام شاشة بلوريّة Cathode Ray Tube تظهر عليها الإشارات المتعكسة من الأرض (شكل ٣).

من الناحية الكارتوجرافية تعاني الصور الرادارية لمستكشف الواقع الأفقي من تشوهات عدّة، أهمّها ذلك التشوه المترى المسمى "التشوه اليابي Helical Distortion" الناتج عن الحصولة النهائية للحركة الدائريّة للهوائي وحركة الطائرة. ويمكن للقارئ الرجوع لكتاب ليفين Levine (١٩٦٠ م) حيث أسلب المؤلّف في شرح هذا النوع من أنواع الرادار ، وبين بوضوح الاشتقاقات الرياضية لهذه الأخطاء المترية ، وكيفية تأثيرها على استنباط الواقع ، واستكشاف المعالم المصورة على الأرض. لهذا السبب لم يلعب مستكشف الواقع الأفقي دوراً مهمّاً في العمل الكارتوجرافي سواء كان عسكرياً ، أمنياً ، أو مدنياً. أما الآن فستعمل الأجيال الحديثة من هذا الرادار – والتي تعمل من موقع أرضية ثابتة- في التبيّنات الجوية ، ومراقبة الحركة الملاحيّة الجوية ، وفي تسهيل حركة السفن التي تتحرّر عباب البحار ، وعلى طائرات الإنذار المبكر المعروفة بالإيوакс .

(ب)-**الرادار ذو النّظرة الجانبيّة Side-Looking Radar**

نسبة للعيوب المترية الموجودة في المعلومات المستقاة من مستكشف الواقع الأفقي ، فقد قام علماء ومهندسو الرادار بتطوير جهاز الرادار ذي النّظرة الجانبيّة لأغراض المسح الاستطلاعي ، ورسم الخرائط الطبوغرافية ، وذلك للاستفادة من خاصيّة قدرة الرادار على التصوير في كل الأوقات All Weather Capability ، وعلى

شكل رقم (٣) عمل الرادار ذي الفتاحة الحقيقية



ضوء ذلك طور المهندسون نوعين من هذا الرadar:

- الرadar ذو الفتحة الحقيقية Real- Aperture Radar

- الرadar ذو الفتحة غير الحقيقة Synthetic Aperture Radar

وفيما يلي شرح مختصر للقاعدة التي يعمل عليها كل منها:

عمل الرادار في الفتحة الحقيقية :

يوضح الشكل (٣) طريقة عمل الرadar ذي النظرة الجانبية حيث يولد الجهاز Pulse دفعه إشارات كهرومغناطيسية بداخله عن طريق مولد إشارات Generator وترسل هذه الدفعه الكهرومغناطيسية إلى جهاز إرسال خاص (الطاولي) في اتجاه حركة الطائرة الأمامية تضيء هذه الدفعات الكهرومغناطيسية شرطاً ضيقاً من الأرض المراد مسحها على أحد جانبي الطائرة، وفي اتجاه متعمد مع اتجاه الطائرة. عند وصول هذه الدفعه إلى الأرض تعكس المعالم الأرضية جزءاً من هذه نحو الطائرة فيستلمها جاہز استقبال حساس على الطائرة (وهو غالباً جزء من جهاز الإرسال)، ويجولها إلى وحدة تقوية signalAmpilifer (لأنها تصل ضعيفة)، بعد ذلك ترسل هذه الإشارة المقوية لعرض على وجه شاشة في شكل أنبوب شعاع (C R T) Cathode Ray Tube وتشير هذه الإشارة على الشاشة في شكل خط يمثل الشعاع المرسل من الطائرة إلى الأرض كما أن شدة إضاءة نقاط هذا الخط على الشاشة دليل على القوة الانعكاسية للأجسام المصورة والعكس صحيح وكما هو الحال في مستكشف

الموقع الأفقية فإن المسافة إلى الجس العاكس تحسب عن طريق فرق الزمن بين إرسال الإشارة واستلامها. وحيث أن الخط الواحد على الشاشة يمثل خطأ ضيقاً على الأرض لا يتعدى عرضه ٢٥ متراً عمودياً على خط الطيران، فإن مسح وتنطية الأرض يتم بوساطة الحركة الأمامية للطائرة حاملة الجهاز. هذا يعني أن هناك أعداداً كبيرة من الخطوط المتوازية والمترافقية تمثل شريطاً رادارياً موازياً لخط الطيران للمنطقة المراد مسحها ويتم تسجيل هذا الشريط على فيلم فوتوغرافي متحرك يوضع أمام الشاشة وعند الانتهاء من عملية المسح يمحض الفيلم، وتتتج عنه صوراً رادارية يمكن تفسيرها وتحليلها للأغراض المختلفة العسكرية كانت ، أو ، أمنية ، أو مدنية.

من مميزات هذا النوع من الرادار إمكانية الحصول على الصور المطلوبة مباشرة من الطائرة بعد معالجة الفيلم ، كما أنه نسبياً بسيط في تصميمه وعمله. وقد استعمل كثيراً في عقدي السبعينيات والثمانينيات في تنفيذ الكثير من مشاريع التغطية الطبوغرافية في عدد من بلدان العالم. ولعل أهم هذه المشاريع وأشهرها هي مشروع RAMP في بينما في أمريكا الوسطى ، ومشروع PRORADAM في بيرو في أمريكا الجنوبية ، ومشروع RADAM في البرازيل ، وهو أكبر هذه المشاريع وأضخمها ، ومشروع NIRAD في نيجيريا ، وكذلك عدة مشاريع أخرى في إندونيسيا وماليزيا والفلبين. وقد نفذت هذه المشاريع في الفترة ما بين ١٩٦٩ م إلى ١٩٧٨ م. وكما هو معروف فإن كل هذه البلدان تغطيها السحب والغيوم معظم أيام السنة مما يصعب معه استعمال الصور الجوية لأغراض التغطية الطبوغرافية. عيوب هذا النوع من الرادار أن دقتها

التمييزية (قدرة الجهاز على معرفة وتحديد الهدف المصور) تعتمد اعتماداً كبيراً على بعد الأهداف عن خط سير الطائرة حيث إنه كلما بعذت هذه الأهداف من مسقط مسار الطائرة على الأرض كلما كان من الصعب تحديدها ومعرفة هويتها. ويكوننا التعبير عن هذا الأمر ربيعاً كالتالي :

$$ra = k \cdot \frac{\lambda}{d} s$$

حيث ra هو القدرة التمييزية لجهاز الرادار

λ طول الموجة التي يعمل عليها الجهاز (وهي مقدار ثابت لنظام رادار ما).

d طول الهوائي المستعمل في الإرسال والاستقبال.

s المسافة بين مصدر الإشعاع (مركز الطائرة) والجسم المصور.

k ثابت الإضاءة (ما بين ٥ ، إلى ١).

إذا افترضنا جهازاً رادارياً يعمل على موجة طولها ٥ ملم وله هوائي طوله ٣ أمتار ويمكنه إرسال أشعة إلى بعد يصل إلى ٢٠ كيلم ، فإن الدقة التمييزية لهذا الجهاز تكون كالتالي :

$$ra = 1.0 \times \frac{0.005}{3} \times 20000 = 33 m , (k = 1)$$

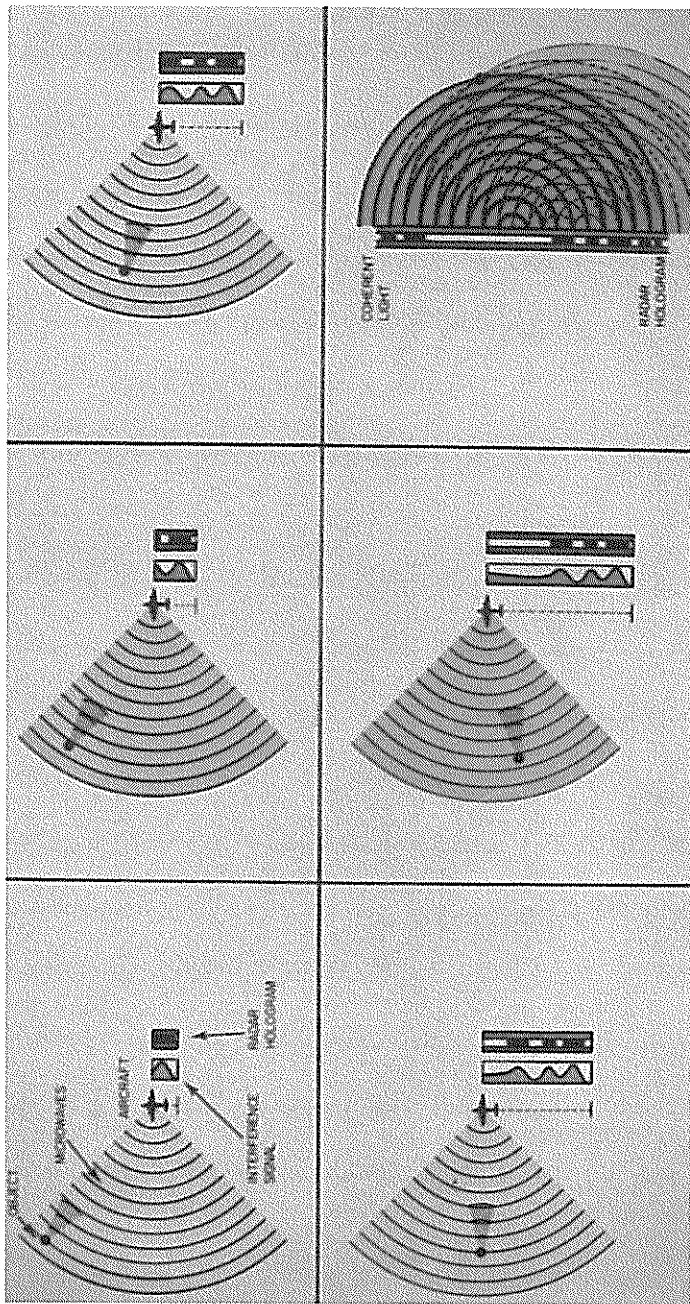
أي أنه لتحديد جسم ما بناء على هذه المعطيات يجب ألا تقل أبعاد هذا الجسم عن 33×33 م لكي يمكن تحديده بوضوح . وفي حالة حمل جهاز الرادار على أقمار صناعية ، فإن فوائده تكون قليلة جداً إذا لم تكن معروفة نسبة بعد المسافة بين القمر الصناعي والمعالم العاكسة ، والتي تصل إلى مئات الكيلومترات. هذه

المحدودية أدت بعلماء ومهندسي الرادار إلى تطوير واختراع النوع الآخر من الرادار الجانبي والسمعي بالرادار ذي الفتحة غير الحقيقة Synthetic Aperture .

طريقة عمل الرادار في الفتحة غير الحقيقة :

صمم هذا النوع من الرادار لتحسين الدقة التمييزية للصورة الرادارية بحيث لا تتأثر هذه الدقة بالمسافة بين الجهاز والجسم العاكس للأشعة. الشكل (٤) يوضح قاعدة عمل هذا النوع من الرادار حيث يستعمل جهاز هوائي قصير ذي شعاع عريض لإرسال واستقبال أشعة رادارية متالية قوية. وتسجل كثافة الطاقة المنشورة (بعد استلامها في مسحات خطية متالية) وتخرج إلكترونياً مع إشارة مصدرية داخل الجهاز.

في هذه العملية، تقوم الطاقة التي يعكسها الجسم الذي مررت عليه الطائرة بتنقية ومعادلة الإشارة المصدرية Reference Signal أثناء تغير المسافة بين الجهاز والجسم العاكس في أطوال موجات متكاملة ، ولهذا يمكن للجسم العاكس أن يبعد عن مسار الطائرة من عدة كيلومترات إلى عشرات الكيلومترات (أو مئات الكيلومترات إذا كان الجهاز محمولاً على تابع صناعي). وفي أثناء مرور الطائرة فإن المسافة تقتصر بقدر عدد من أطوال الموجات التكاملية. وكما هو واضح فإن المسافة للجسم تكون في أقصر حالاتها عندما يكون الجسم على خط عمودي لمسار الطائرة. وتزداد هذه المسافة بعد ذلك مرة أخرى عندما تعبر الطائرة هذا الخط في هذه العملية تكون كل نقطة عاكسة عدداً من النقاط أو الخطوط القصيرة على فيلم المعلومات Data Film ، وهذه الخطوط تعادل تماماً جزءاً من صفيح



منطقة فرسنل بصري Optical Fresnel Zone Plate. وأن هذه الصفائح تعمل كعدسة لامة وضابطة فإن هذه الخطوط والنقاط المتوازية تعمل كعدسة أسطوانية تضبط الصورة في اتجاه واحد لتكوين صورة هذا النوع من الرادار تسلط حزمة ضوئية ليزرية قوية ومتمسكة على فيلم المعلومات الذي يحتوي على هذه الخطوط. هذه الحزمة الضوئية تكوننا من إسقاط صورة واضحة لمعالم الأرض على فيلم آخر يسمى فيلم الصورة Image Film الذي يمكن استعماله في رسم خرائط بلانكورية أو طبوغرافية للمنطقة المراد تغطيتها يمكننا حساب الدقة التمييزية (التفسيرية) لصور هذا النوع من الرادار من المعادلة الآتية:

$$ra = d/2$$

حيث d هو طول الهوائي المستعمل للإرسال والاستقبال . وكما هو واضح فإنه كلما قصر طول الهوائي كلما كانت معالم الأرض أوضح وأيسر تحديداً. هذا هو السبب الرئيسي لاستعمال هذا الجهاز في توفير المعلومات الأمنية والعسكرية. الشكلان (٥) و (٦) يوضحان مدى الدقة العالية لصور هذا النوع من الرادار حيث يمثل الشكل (٥) صورة لمنطقة خليج تكساس في الولايات المتحدة التي أخذت بوساطة جهاز رadar ذي فتحة غير حقيقية من شركة Aero Service والمسمى EMS- 1000 SAR System وله دقة تمييزية ٢٥ متراً، أما الشكل (٦) فيمثل خريطة طبوغرافية لنفس المنطقة حيث تكشف صورة الرادار كل دقائق هذه المنطقة بكل وضوح خاصة الجسور، وشبكة الطرق، والمطارات ، وخطوط السكك الحديدية ، ومناطق تجمعات السكان ، والبحيرات ، والجزر ، وأبراج نقل الكهرباء (النقاط البيضاء الصغيرة المنتشرة في الصورة).

شكل رقم (٦)
خرطة للمنطقة نفسها في الشكل (٥)



شكل رقم (٥) : منطقة سينان من رadar الماز



رادار الماز الروسي *Almaz: The Russian Radar*

رادار الماز الروسي هو أول جهاز راداري روسي صمم لمنافسة أجهزة الاستشعار عن بعد الفضائية المنتجة في الدول الغربية (أمريكا وفرنسا وكندا وألمانيا) ، وهو من النوع ذي الفتحة غير الحقيقية.

وكلمة الماز الروسية هذه هي تحريف لكلمة العربية "الماس" الحجر الكريم المعروف. وقد صمم هذا الجهاز ليعمل على موجة طولها ١٠ سم بدقة تميزية ١٥ متراً. وضع رادار الماز في مداره في يوم ٣١/٣/١٩٩١م وقد ظل يجمع أعداداً كبيرة من الصورة الرقمية الرادارية لسطح الأرض يتراوح عرض كل منها من ٢٠ كيلم إلى ٤٠ كيلم (المؤسسة الروسية للفضاء ١٩٩١م). الجدول (٢) يوضح بعض الخصائص الرئيسية لرادار الماز.

جدول رقم (٢)

الخصائص الرئيسية لرادار الماز

الخصائص الرئيسية لرادار الماز	
٣٠٠ كم	ارتفاع المدار
٧٣	أغراق المدار
٩٠ دقيقة	المدة المدارية
٢٥-٢٠ كم	عرض الشريط المصور
٢٥٠×٢ كم (انظر الشكل ٧ بـ)	طول الشريط المصور
٤٠ - ٦٠	زاوية التصوير
١٥-٣٠ متر	الدقة التمييزية الأرضية
٣-٥ دبليو	الدقة الإشعاعية
١٠ سم (حزمة ٥)	طول الموجة
٢٣، ٢٣، ٠٠، ٠٠	عرض الشعاع
راسيا، آفريا، ٣٢، ٣٢	مخزن المعلومات
١٥٠ ثانية	أقصى مدة زمنية للتسجيل
أتفقي	الاستقطاب
٣-١ أيام	دورة التصوير

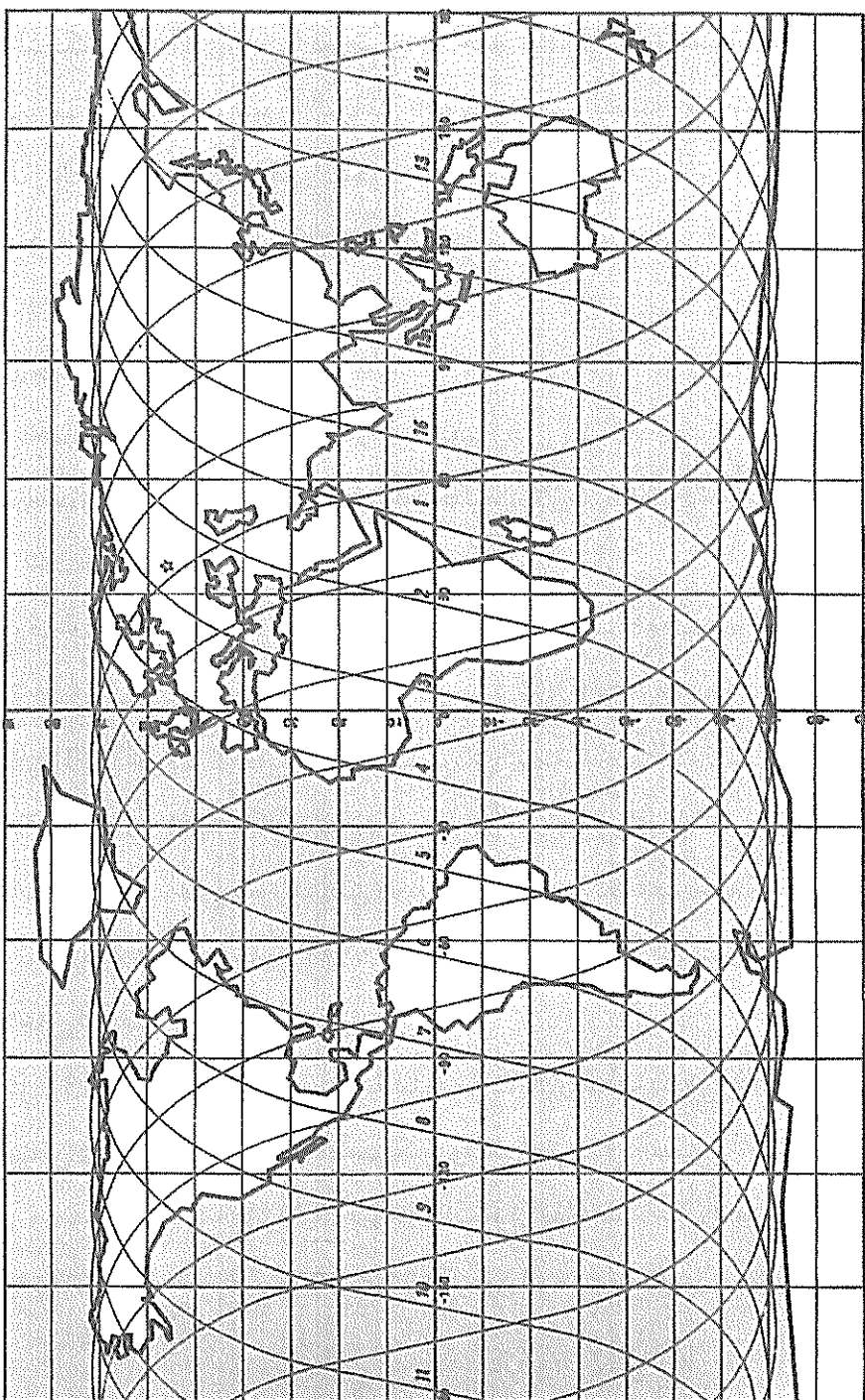
أما الشكلان (٧ أ) و(٧ ب) فيوضحان خط الطيران الأرضي لهذا الرadar، وكما هو واضح فإن صورة الرياض - موضوع هذا البحث - قد التقطت أثناء سير القمر الصناعي في المدار رقم ١. تتكون مجموعة هذا radar من الآتي:

- (١) هوائيين متوازيين ينظر كل منهما إلى جانب مختلف من القمر الصناعي (يميناً ويساراً).
- (٢) جهاز إرسال واستقبال.
- (٣) جهاز تسجيل فيديو لحفظ المعلومات المصورة.
- (٤) جهاز راديو لإرسال المعلومات للمحطات الأرضية المزودة والتجهزّة خصيصاً لاستقبال هذه المعلومات (شكل ٨).

ويدورها تحتوي المخطة الأرضية على جهاز استقبال لاستلام المعلومات الرادارية على شريط رقمي ذي كثافة عالية (HDDT) High Density Digital Tape يتم تحويله لاحقاً إلى شريط قابل للمعالجة بالحاسوب Computer Compatible Tape حيث يستعمل هذا الأخير في المعالجة الرقمية للمعلومات للحصول على صور المناطق المغطاة في شكل شرائط مغناطيسية، أو صور فوتوغرافية على مقاييس ١٥٠٠٠١ / ١ (أي ١ ملم على الصورة يمثل ١٥٠ مترًا على الأرض).

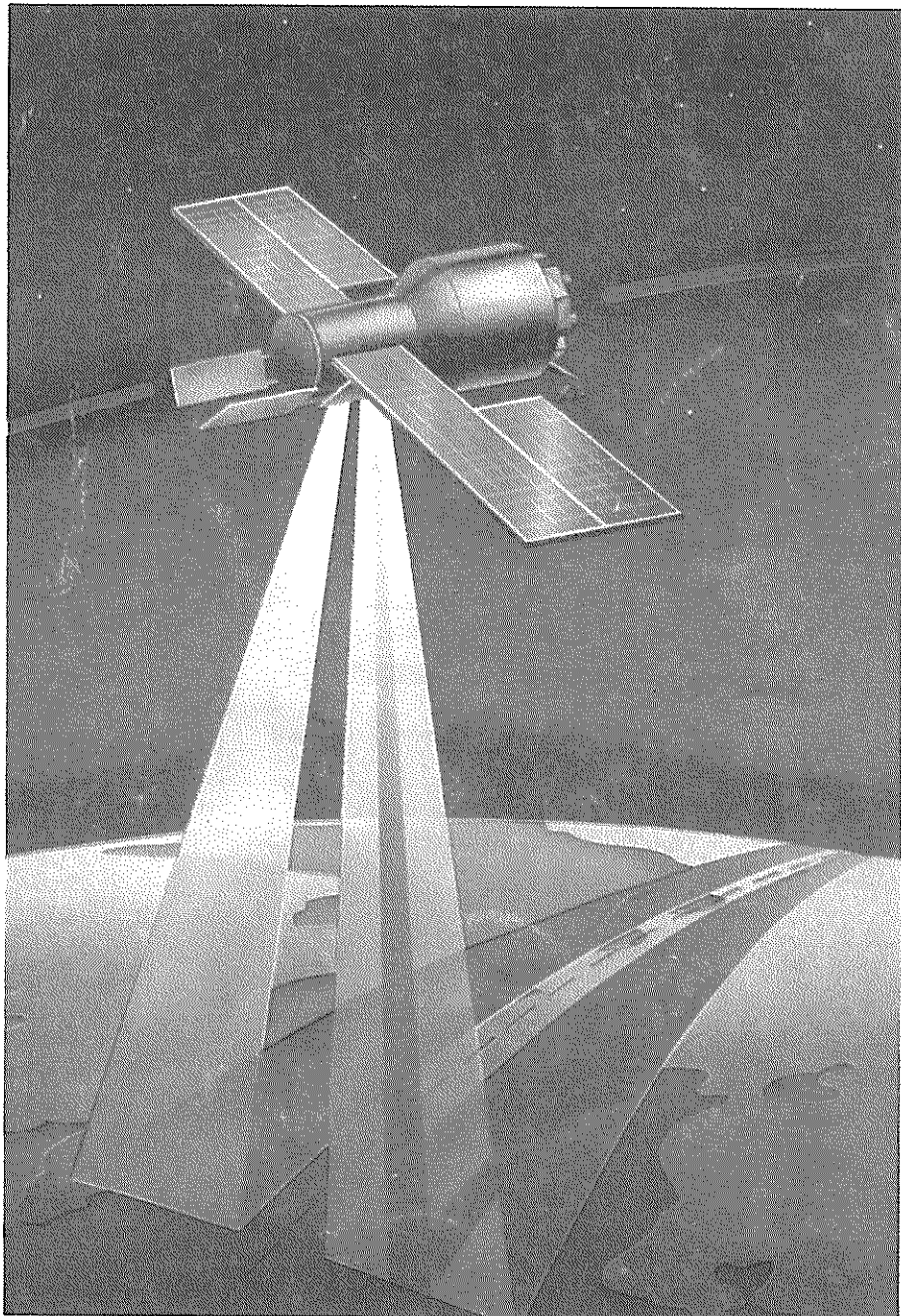
الشكل (٩) عبارة عن صورة رادارية ليلية لرادار الماز لمنطقة سياتل بالقرب من واشنطن في الولايات المتحدة الأمريكية. وقد ظهرت في الصورة بخلاف الجسور وبعض المراكب العابرة ليلاً، وحالة المياه في تلك الساعة والصورة توضح مدى الدقة العالية لهذا الجهاز مما يمكن من استبطاط معلومات أمنية

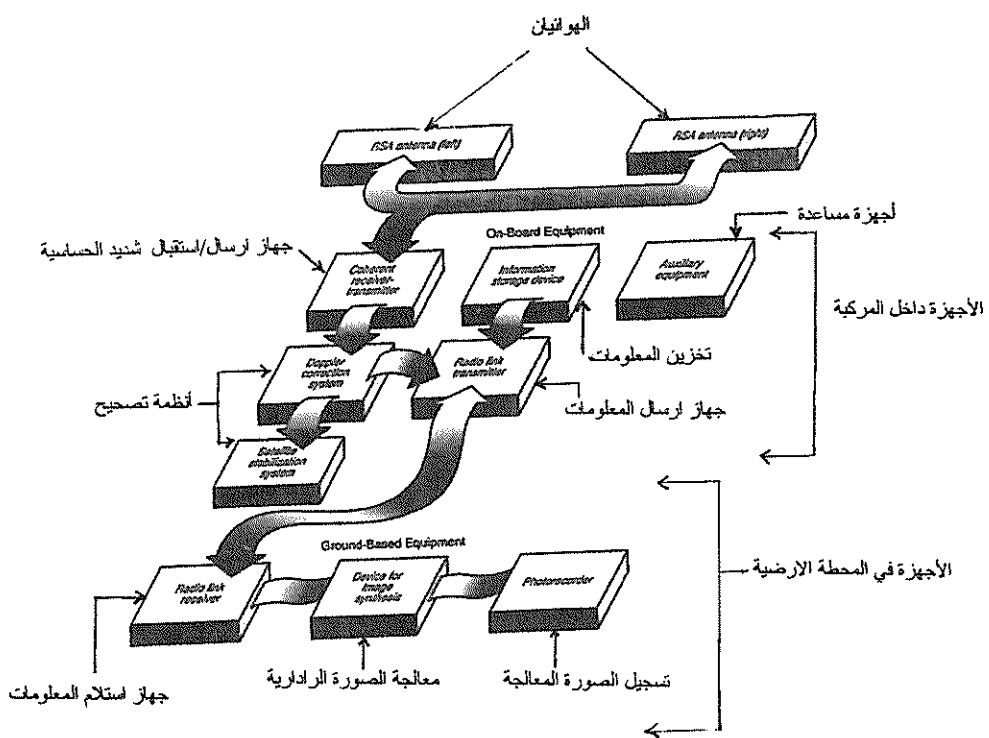
شكل رقم (٧)ـ
المدار الأرضي لرادار الماز



شكل رقم (ب٧)

المدار الأرضي لرادار الماز





شكل (٨): مجموعة رادار العاز (عن وكالة الفضاء الروسية)

شكل رقم (٩)

صورة ليلية لنطقة سياتل (الولايات المتحدة) من رadar الماز



وعسكرية مهمة في أنحاء شتى من العالم. أما الجدول (٣) فهو مقارنة بين الماز الروسي وسبوت الفرنسي ولاندس الأمريكية من حيث الدقة وخصائص الصور ، (المؤسسة الأمريكية للأنصاف ١٩٩١ م).

جدول رقم (٣)

مقارنة بين الماز وسبوت ولاندست

لاندست	سبوت	ماز	الخاصة
الولايات المتحدة	فرنسا	روسيا	البلد المصطنع
مساح موضوعي ومساحة خطية	مساحات بصرية كافية	رادار	جهاز التحسس
٧٠٥	٨٠٠	٣٠٠	ارتفاع المدار (كم)
١٨٠ × ١٨٠	٦٠ × ٦٠	٢٥٠ × ٢٥٠	حجم الصورة (كم ^٢)
٨٠ م للمساحة الموضوعي م للمساحة البصرية	١٠ م (أحادية اللون)، ٢٠ م (متعددة الأطيف)	٣٠ - ١٥	الدقة التمييزية
رقمياً	رقمياً	بصرياً أو رقمياً	معالجة الصور
إرسال مباشر للأرض	تسجيل داخل المركبة وإرسالها لاحقاً إلى الأرض	تسجيل داخل المركبة وإرسالها لاحقاً إلى الأرض	طريقة إرسال المعلومات
نهاراً فقط	نهاراً فقط	ليلًا أو نهاراً	وقت التصوير
٨ ب	٨ ب	٥ ب	الدقة الإشعاعية
-	-	راديو متر ميكروفي	أجهزة تحسين أخرى
تجاريًّا	تجاريًّا	تجاريًّا	الحصول على المعلومات

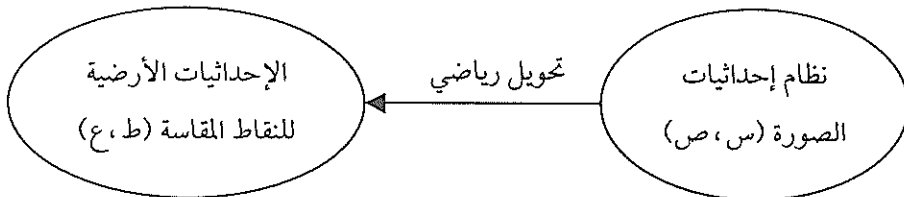
الهدف من البحث

يهدف هذا البحث إلى اختبار دقة رادار الماز في استنباط معلومات طبوغرافية وتفصيرية من المناطق الحضرية المزدحمة بالسكان والمنشآت ، متمثلة في مدينة الرياض العاصمة السعودية. أجرى البحث على مسارين مختلفين: المسار الأول اختبار هندسي للدقة المترية (القوة التمييزية) للجهاز ، حيث قيست

الإحداثيات الصورية لنقاط عديدة على صورة الرادار باستعمال جهاز تحليلي حديث عالي الدقة. والشرط المهم الذي يجب توفره في هذه الحالة هو أن هذه النقاط يجب أن تكون واضحة وجلية على الصورة وعلى الخرائط الطبوغرافية التي تغطي نفس المنطقة. ولتقليل تأثير الخطأ الكارتوجرافى على النتائج النهائية فقد استعملت خرائط طبوغرافية لمدينة الرياض على مقياس رسم ١٥٠٠٠٠ / ١ أنتجتها أمانة مدينة الرياض عام ١٤١٣ هـ (هذا يعني أن ١ ملم على الخريطة يعادل ٥٠ متراً على الأرض). الطريقة التي اتبعت في الاختبار الهندسي هي استعمال بعض التحويلات الرياضية لتحويل إحداثيات النقاط المقاسة على صورة الرادار من النظام الإحداثي الصوري إلى النظام الإحداثي الأرضي المستعمل في المملكة العربية السعودية الشكل (١٠).

شكل رقم (١٠)

التحول الرياضي لصور الرادار



بعض النقاط المحولة (وهي التي تعرف بنقاط التحكم Control Points) استعملت في إجراء عملية التحويل نفسها-أي استعملت لحساب عوامل التحويل الرياضي - في حين استعملت النقاط المتبقية كنقاط تأكيد Check Points للوصول للدقة المترية لهذا النوع من أجهزة الاستشعار عن بعد.

أما المسار الثاني فيختص بتفسير وتحديد ومعرفة معالم مدينة الرياض على صورة رadar الماز الروسي ، ومقارنتها بالخرائط الطبوغرافية ، ومن ثم الحكم على استعمال هذا الجهاز في العمليات الكارتوجرافية الأمنية والعسكرية.

منطقة الاختبار وأدوات التجربة:

أدوات الاختبار تحتوي على :

(أ) صورة رادارية من القمر الصناعي الروسي الماز تغطي أجزاء من مدينة الرياض وما حولها ، وهي عبارة عن فيلم أبيض وأسود مطبوع على قاعدة بوليستيرية ومعها صورة مطابقة مطبوعة على ورق مصقول . والصورة تغطي مساحة 41×31 كيلم تقريباً من مدينة الرياض على مقياس $1:50000$ وقد أخذت هذه الصورة (الشكل ١١) في تمام الخامسة وتسع دقائق واثنتين وأربعين ثانية من صباح يوم ٢٩/٦/١٩٩٢ م. أما الإحداثيات الجغرافية لأركان

الصورة فهي كالتالي :

$24,86^{\circ}$ شمالاً ، $46,50^{\circ}$ شرقاً

$24,96^{\circ}$ شمالاً ، $46,85^{\circ}$ شرقاً

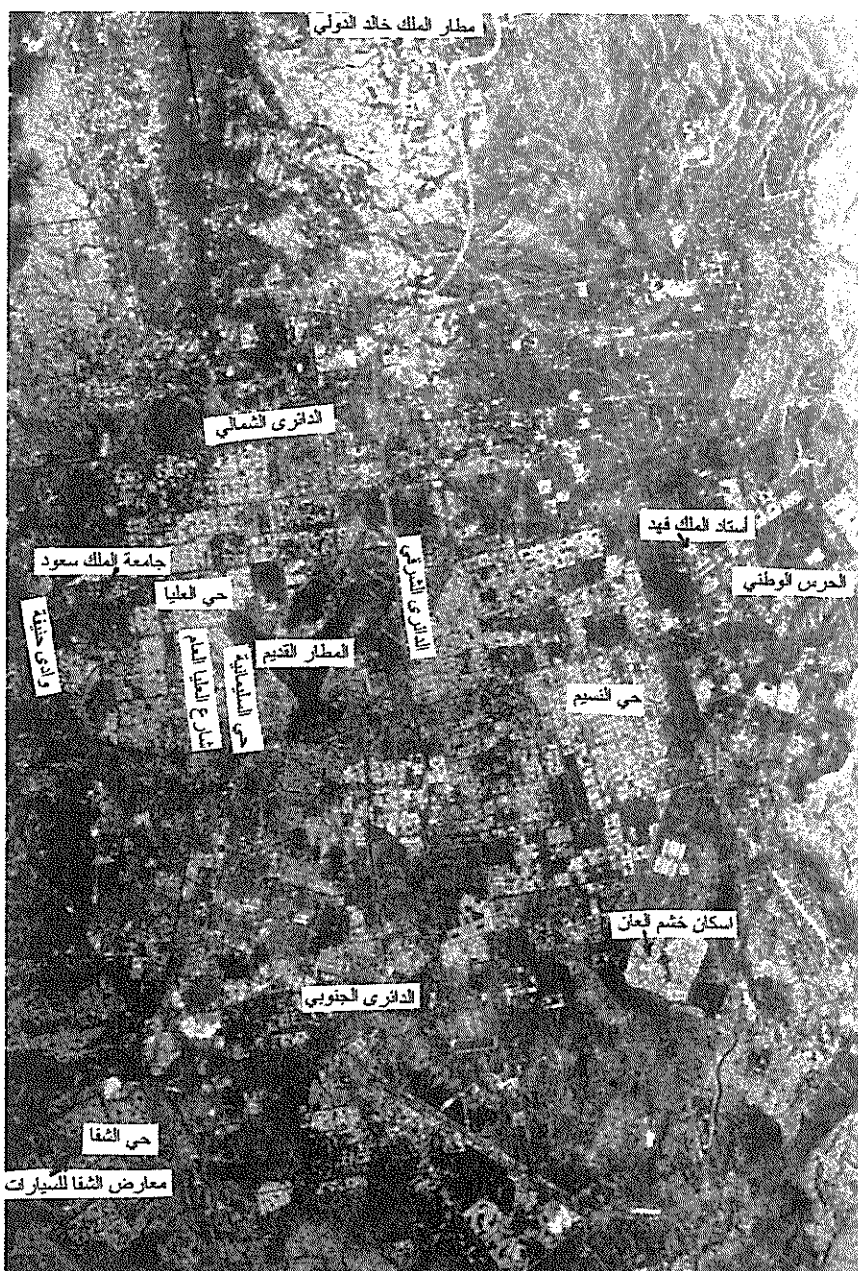
$24,96^{\circ}$ شمالاً ، $46,98^{\circ}$ شرقاً

$24,49^{\circ}$ شمالاً ، $46,63^{\circ}$ شرقاً.

(ب) خرائط طبوغرافية ذات مقياس ذات مقياس $1:50000$ للمنطقة المغطاة تحصل عليها الباحث من إدارة المساحة العسكرية بالرياض . وقد رسمت هذه الخرائط من صور أخذت عام ١٩٨٠ م في حين جرت عمليات التكملة الحقلية لهذه الخرائط

شكل رقم (١١)

صورة مدينة الرياض من رadar الماز



عام ١٩٨١ م ، وقد نشرت هذه الخرائط عام ١٩٨٢ م.

وقد قامت شركة عسير للمسح الجوي تحت إشراف شعبة المسح الجوي في وزارة البترول والمعادن بالرياض بنشر هذه الخرائط. وعند المقارنة الفورية لهذه الخرائط مع صورة الرادار وضح جلياً أن هذه الخرائط قدية ، وأن الكثير من المعالم غير موضحة عليها ، ولذلك فقد ثبت أن هذه الخرائط غير ملائمة لطبيعة هذه التجربة وعليه رفضت بناء على ذلك.

(ج) قامت إدارة التسمية والتقييم بأمانة مدينة الرياض مشكورة بتزويد المؤلف بخرائط طبوغرافية جديدة لمدينة الرياض على مقاس رسم ١ / ٥٠٠٠٠ قامت بتنفيذها شركة آي جي إن IGN فرنسية تحت الإشراف المباشر لأمانة مدينة الرياض ، وقد أخذت الصور الجوية لهذه الخرائط عام ١٩٨٣ م ، ورسمت على مسقط ميركاتر العالمي حيث غطيت مدينة الرياض بست لوحات. وبالرغم من أن هذه الخرائط قدية أيضاً بالمقارنة مع صورة الرادار (١٩٨٦ م مقارنة بـ ١٩٩٢ م) إلا أنها الأقرب والأحدث لغرض هذا البحث ، وهذا في حد ذاته يبين أهمية هذه الدراسة.

الشكل رقم (١٢) يبين حدود المنطقة المغطاة بالصورة الرادارية المستعملة في هذا البحث.

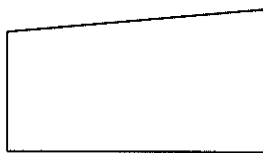
(١) اختبار نقاط تحكم وعملية تعيين الإعداديات:

بدأت هذه المرحلة في البحث بفحص صورة الرادار ، وكذا الخرائط الطبوغرافية ، بهدف العثور على نقاط تحكم واضحة وموزعة توزيعاً مناسباً على المساحة المغطاة. وبعد بحث طويل وجد أن أحسن وأنسب النقاط لهذه الأغراض

شكل رقم (١٢)

إحداثيات أركان صورة الرادار المستعملة في البحث

(٤٦,٦٣، ٤٦,٥٠، ٢٤,٩٦، ٢٤,٩٦)



(٤٦,٩٨، ٤٦,٨٥، ٢٤,٤٩، ٢٤,٤٩)

هي، أركان الأسوار الطويلة المصنوعة من المعدن أو الأسلال الشائكة، (كما في جامعة الملك سعود والحرس الوطني)، وكذلك مركز الهوائيات في شرق الرياض، والسبب في ذلك أن هذه المعالم هي معالم حديدية من خصائصها عكس نسبة كبيرة من أشعة المايكرويف مما يسهل ظهورها على الصورة (على القارئ أن يتذكر أن جهاز الرادار صمم أصلًاً لكشف الأجسام المعدنية العسكرية). تأتي بعد ذلك نقاط تقاطع الطرق ، والتي تشكل معظم نقاط التحكم المختارة، هذا وقد بلغ عدد نقاط التحكم المتقنة ٦٤ نقطة.

المرحلة التالية هي قياس الإحداثيات الأرضية لهذه النقاط على الخرائط الطبوغرافية، وقد استعملت لهذا الغرض مسطرة هندسية مزودة بجودة مكبرة وتقسيس لدقة ± 1 ملم. فمثلاً إذا افترضنا وجود خطأ رسم مقداره 2 ملم (وهو الرقم المعمول به عالمياً في العمل الكارتوجغرافي) فهذا يعني أن الإحداثيات المقاسة لها دقة على الأرض تصل من ± 10 إلى ± 15 متراً.

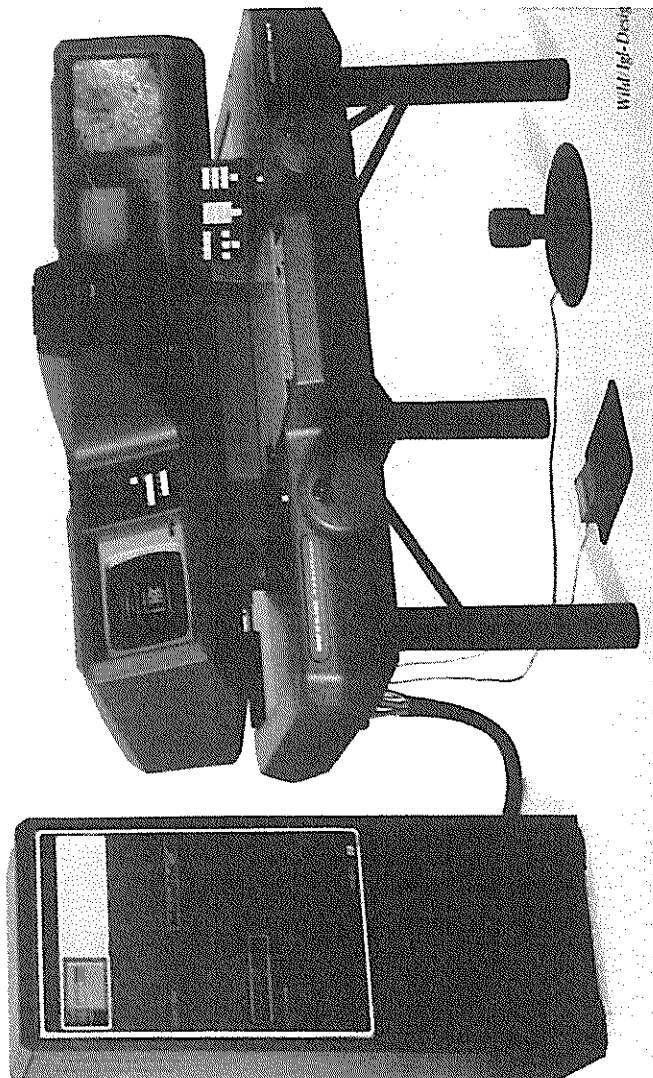
بعد ذلك وضعت الصورة الرادارية المطبوعة على فيلم بوليستري في جهاز ليكا AC-1 ، وهو جهاز رسم تحليلي عالي الدقة (± 0.001 ملم) (الشكل ١٣) تحتوي حزمة براجهه على برنامج لقياس إحداثيات النقاط على الصور (جوية، فضائية، أرضية) بوساطة جهاز كمبارتر أحادي القياس Monocomparator. وهذا الجهاز له نظام بصري يستطيع تكبير الصورة من ٥ مرات إلى ١٩ مرة. بيد أنه أثناء عملية القياس وجد المؤلف أن أنساب قيمة تكبير لصور هذا النوع من الرادار هي ٨ مرات لأن التكبير بأعلى من هذه النسبة يقلل من وضوح معالم الأرض المضورة. وعليه كُبرت صورة رادار الماز ٨ مرات بحيث يصبح مقاييسها $18750/1$. وقد قيست إحداثيات نقاط التحكم (٦٤ نقطة) على نفس دقة الجهاز (0.001 ملم) أي ما يعادل ١٨ سم على الأرض ، وهي دقة أعلى بكثير من دقة نقاط التحكم نفسها المأخوذة من الخرائط الطبوغرافية. الجدولان (٤) و (٥) يوضحان الإحداثيات الصورية المقاسة بجهاز ليكا AC-1 والأرضية المقاسة بجهاز القياس الهندسي الدقيق.

معالجة المعلومات الرادارية وتحليل النتائج :

بعد الانتهاء من عملية القياس على جهاز ليكا يكون لدينا نوعان من المعلومات المترية :

- الإحداثيات الصورية للنقاط الأرضية على نظام إحداثيات الصورة.
- الإحداثيات الأرضية لهذه النقاط على نظام الخريطة الطبوغرافية (الشبكة القومية السعودية).

والمشكلة المراد حلها أصلًا تكمن في تطبيق تحويلات رياضية من الصورة إلى الشبكة القومية السعودية ، ومن ثم الحكم على صورة الرادار من



(رقم جدول ٤)

الإحداثيات الصورية المقاسة بجهاز لايكا التحليلي (وحدة)

رقم النقطة	س	ن	ص	ن	س	رقم القطة
١ف	٦٦٣٢٣.٠-	٦٦٣٢٣.٠-	٤٥٣٧١.٠	٢٥	٨٠٠٢٠.١	٢٨٣٣٤.٠-
٢ف	١١٣٤٣٢.٥	١١٣٤٣٢.٥	٩٧٤٧.٠-	٢٦	٧٩٦٦٢.١	١٧٤٨٨.٠-
٣ف	١١٢٩٥٧.٩	١١٢٩٥٧.٩	١١٨٠٧٥.٠-	٢٧	٧٥٣٧١.١	٥١٣٤.٠-
٤ف	٦٦٨٧٤.٩-	٦٦٨٧٤.٩-	٤١١٠٣.٠-	٢٨	٧٣٦١٨.١	٤٠٠٧.٠
٥	٢٥٢١٦.١	٢٥٢١٦.١	١١٣٢٠١.٠	٢٩	٧٦١٢٠.١	٥٤١٦.٠
٦	٤٩٨٦٢.١	٤٩٨٦٢.١	٩٤٧٣٢.٠	٣٠	٥٣١٧٦.١	٩٥٦٢.٠
٧	١٠٤٥٠٢.١	١٠٤٥٠٢.١	٦٣٧٢٩.٠	٣١	٩٨٤٤٩.١	١٤١٧٣.٠
٨	١٠٩١٩.١	١٠٩١٩.١	٤١٩٧٧.٠	٣٢	٩٨٥٠٥.١	٢٧٦٣٢.٠
٩	٣٥١٢٣.٩-	٣٥١٢٣.٩-	٣٦٣٦٣.٠	٣٣	١٠٦٨١٥.١	٢٩٨٣٦.٠
١٠	٣٨٤٦٤.٩-	٣٨٤٦٤.٩-	٤٥٣٣٦.٠	٣٤	١٠٢٩٦٦.١	٣٤٣٠٢.٠
١١	٣٢٠٠٣.٩-	٣٢٠٠٣.٩-	١١٨٦٨.٠	٣٥	٩٥٥٠٩.١	٣٢٠٢٢.٠
١٢	٣١٠٤٧.٩-	٣١٠٤٧.٩-	٣٣٨.٠	٣٦	٩٧٣٣٩.١	٣٩٦٨١.٠
١٣	٥١٥٠٩.-	٥١٥٠٩.-	٣٩١٣٦.٠-	٣٧	٥٩٠٧٩.١	٤٧٩٧٩.٠
١٤	١٧٥١٤.١	١٧٥١٤.١	١٥٨١٤.٠-	٣٨	٧٧٣١٦.٠	٧٧٣١٦.٠
١٥	٩٥٢٧.٩-	٩٥٢٧.٩-	١٤٧٩٠.٠	٣٩	٨٩٥٩.١	٥٤٠٧٤.٠
١٦	١٣٦٢٢.١	١٣٦٢٢.١	١٧٧١٧.٠	٤٠	٦٨٩٦٩.١	١٤٢٤٣.٠
١٧	٤٦٤٨٢.٩-	٤٦٤٨٢.٩-	٩٢٠٠٢.٠-	٤١	٣٨٠٥.٩-	٢٧٨٠٠.٠-
١٨	٥٤٦٨٣.٩-	٥٤٦٨٣.٩-	١١١٤٨٣.٠-	٤٢	٥٠٦٣٧.٩-	٣٨٩٢.٠
١٩	٤٢٢٣٩.٩-	٤٢٢٣٩.٩-	١١٦٧٢٨.٠-	٤٣	٢٠٧٨٣.٩-	١٣٠٦١.٠
٢٠	١٤٦٥١.٩-	١٤٦٥١.٩-	١١٢٦٦٧.٠-	٤٤	٥٩١١٨.١	٧١٩٧٨.٠-
٢١	٣٣١٤.٩-	٣٣١٤.٩-	١١٠٥٧٨.٠-	٤٥	٢٢٦٧٣.١	٩٦٤٤٥.٠-
٢٢	٢٧٦٩٢.١	٢٧٦٩٢.١	١٠٤٢٧٤.٠-	٤٦	٣٠٠٥٩.١	١١٧٠٠.٣-
٢٣	٩٧٩.١	٩٧٩.١	٩٥٤٥٤.٠-	٤٧	٥٨٩٧٩.٩-	٩٨٠٠٠.٣-
٢٤	٢٧٤٢٣.١	٢٧٤٢٣.١	٩٢٥٨٤.٠-	٤٨	٦٢٦٠٦.٩-	٩٩٩١١.٠-
٢٥	٣٤٤٥٦.١	٣٤٤٥٦.١	٨٣٦٥٠.٠-	٤٩	٤٠٥٦٧.٩-	١٠٧٣٠٣.٠-
٢٦	٧٥٤١٠.٠	٧٥٤١٠.٠	٧٩٢٠٦.٠-	٥٠	٥٤٤١٨.٩-	٢٩٩٧٥.٠-
٢٧	٥٠٨٧٠.١	٥٠٨٧٠.١	٢٤٠٤٥.٠-	٥١	٨٢٣٤٦.١	٧٩١٠٥.٠-
٢٨	٦٨٨٣٥.١	٦٨٨٣٥.١	٣٢٠٠٩.٠-	٥٢	٨٦٧٢١.١	٣٧٨٦١.٠

جدول رقم (٥)

الإحداثيات الأرضية المقاسة على الخريطة بالأمتار

N	E	رقم النقطة	N	E	رقم النقطة
٢٧٤٠١٢٥	٦٨٦٦٤٠	٣١	٢٧٥٤٩٥٠	٦٧٢٨١٠	٢
٢٧٤٠٨٧٥	٦٨٦٨٦٠	٣٢	٢٧٥٣٤٦٠	٦٧٧٧١٠	٣
٢٧٤٠٣٢٥	٦٨٢٨٠٠	٣٣	٢٧٤٦٦٧٥	٦٧٣٨٠٥	٤
٢٧٤٣٧٥٠	٦٨٩٩٥٠	٣٤	٢٧٤٣٠٧٥	٦٧٤٢٠٠	٥
٢٧٤٥٦٨٥	٦٨٩٢٧٠	٣٥	٢٧٣٩٦٥٠	٦٦٦٩٥٠	٦
٢٧٤٦٥٠٠	٦٩٠٥٢٥	٣٦	٢٧٤٠٨١٠	٦٦٥٩٥٠	٧
٢٧٤٧١٠١	٦٨٩٦٩٠	٣٧	٢٧٣٥٩٥٠	٦٦٨٦٥٠	٨
٢٧٤٦٢٢٥	٦٨٨٥٥٠	٣٨	٢٧٣٣٤٢٠	٦٦٩٤٥٠	٩
٢٧٤٧٥٢٥	٦٨٨٤٠٠	٣٩	٢٧٣٣٤٢٥	٦٧٦٨٤٠	١٠
٢٧٤٨٤٢٥	٦٨٧١٣٥	٤٠	٢٧٢٩٤٥٠	٦٧٥٨٤٥	١١
٢٧٤٦٧٦٥	٦٨١٩٢٠	٤١	٢٧٣٤٤٤٥٠	٦٧٨٢٠٠	١٢
٢٧٥١٩٥٧	٦٨٢٣٢٥	٤٢	٢٧٣٧٦٧٥	٦٧٢٢٧٥	١٣
٢٧٤٤٨٦٠	٦٧٣٣٤٥	٤٣	٢٧٣٩٤٢٥	٦٧٥٨٦٥	١٤
٢٧٤٢٠٥٠	٦٨٥٢٣٠	٤٤	٢٧١٨٩٢٥	٦٧١٨٧٠	١٥
٢٧٣١٢٥٠	٦٧٥٤٥٠	٤٥	٢٧١٥٠١٠	٦٧١٥٢٠	١٦
٢٧٣٣٨١٠	٦٦٦٠٥٠	٤٦	٢٧١٥٣٧٥	٦٧٣٩١٠	١٧
٢٧٣٦٨٢٥	٦٧٠٥٠٠	٤٧	٢٧١٥٧٠١٥	٦٧٨٠٥٠	١٨
٢٧٢٨٠٠٠	٦٨٨٠٥٠	٤٨	٢٧١٨٩٧٥	٦٨٠٧٧٥	١٩
٢٧٢٢٠٧٥	٦٨٣٥٦٠	٤٩	٢٧٢١١٦٠	٦٨٤٦١٥	٢١
٢٧١٩٣٠٠	٦٨٥٧٥٠	٤١٠	٢٧٢١٠٥٠	٦٧٩٧٢٥	٢٢
٢٧١٧٤٠٠	٦٧٠١٠٠	٤١٢	٢٧٢٢٢٩٠	٦٨٣٩٠٠	٢٣
٢٧١٦٤٠٠	٦٦٩٤٠٠	٤١٤	٢٧٢٤٠٢٥	٦٨٤١٧٥	٢٤
٢٧١٦٩٠٠	٦٧٣٦٥٠	٤١٥	٢٧٢٩١٢٥	٦٩٠٦٠٠	٢٥
٢٧٢٧٥٧٥	٦٦٤١٩٠	٤١٦	٢٧٣٤٩٥٠	٦٨٤١٥٠	٢٦
٢٧٢٨١٠٠	٦٩٢٢٥٠	٤١٧	٢٧٣٤٧٥٠	٦٨٧٥٠٠	٢٧
٢٧٤٦٧٠٠	٦٨٦٧٧٥	٤١٨	٢٧٣٥٩٠٠	٦٨٩٢١٥	٢٨
			٢٧٣٧٧١٠	٦٨٨٢٥٠	٢٩
			٢٧٣٩٢٦٠	٦٨٧٢٤٠	٣٠

ناحية فاعليتها في إمدادنا بمعلومات كartoغرافية أمنية ، عسكرية ، أو مدنية . وفيما يلي شرح لعدد من التحويلات الرياضية المستعملة لهذا الغرض.

(أ) - التحويل المطابق *Conformal Transformation*

يقوم هذا التحويل بتدوير الصورة الرادارية رياضياً بزاوية قدرها (θ) ثم بضرب إحداثيات الصورة في مقاييس الرسم (λ) ، وأخيراً إزاحة نقطة الأصل للصورة لتنطبق على مركز الإحداثيات الأرضية للشبكة القومية ، وهذا يعني أن أشكال العالم المصورة لن تتأثر بعمليات التحويل (ولهذا سمي بالتحويل المطابق). رياضياً يمكن كتابة هذا التحويل كما يلي : -

$$\begin{bmatrix} X \\ Y \end{bmatrix} = \lambda \begin{bmatrix} \cos\theta & -\sin\theta \\ \sin\theta & \cos\theta \end{bmatrix} \begin{bmatrix} x \\ y \end{bmatrix} + \begin{bmatrix} X_0 \\ Y_0 \end{bmatrix}$$

حيث X, Y هي الإحداثيات الأرضية المطلوبة للنقاط المقاسة على الصورة .
 x, y الإحداثيات الصورية للنقاط (من جهاز لايكا)
 X_0, Y_0 إحداثيات نقطة الأصل .

(ب) التحويل الرياضي العام متعدد الحدود :

هو أكثر تعقيداً من التحويل المطابق لأنّه يضم العديد من الحدود ذات الدرجات المختلفة في x و y . ولذلك فإنّ هذا التحويل يقلل من تأثير

بعض الأخطاء المستقطمة الموجودة في الصور الرادارية ، وهو بذلك يأخذ عدة أشكال استعمل منها هذا الشكل في البحث الحالي :

$$X = a_0 + a_1x + a_2y + a_3xy + a_4x^2 + a_5y^2 + a_6x^2y + a_7xy^2$$

$$Y = b_0 + b_1x + b_2y + b_3xy + b_4x^2 + b_5y^2 + b_6x^2y + b_7xy^2$$

حيث : x, y, X, Y هي إحداثيات النقاط على الصورة وعلى الأرض على التوالي كما هو الحال في التحويل المطابق a_0, \dots, b_7 هي عوامل التحويل الرياضي.

وكما هو واضح فإننا نحتاج على الأقل إلى ثمانية نقاط تحكم لتنفيذ هذا التحويل ، وهذا مما قد لا يتوفّر دائمًا خاصة في التطبيقات العسكرية والأمنية حيث تكون المنطقة المغطاة غير معروفة تمامًا للجهات التي تقوم بالتصوير أو تكون في حالة تمويه أمني يصعب معه مقارنة إحداثيات الصورة بمثيلاتها على الأرض . وبالرغم من الدقة العالية المتوقعة من هذا النوع من التحويلات الرياضية إلا أن هذا الأمر يعتبر من أهم عيوبه من الناحية العملية التطبيقية الجدير بالذكر أنه إذا اكتفينا بالحدود الثلاثة الأولى من كل معادلة في هذا التحويل فسوف نحصل على تحويل آخر يسمى التحويل المشابه . Affine Transformation

(ج) التحويل الإسقاطي Projective Transformation

هو تحويل رياضي مستنبط من النظرية الرياضية المسماة بالإسقاطية ، والتي تربط بين مستويين مختلفين بوساطة معادلتين تحتويان على ثمانية عوامل تحويل . ويأخذ التحويل الإسقاطي هذا الشكل :

$$X = \frac{a_1x + a_2y + a_3}{a_4x + a_5y + 1}$$

$$X = \frac{a_1x + a_7y + a_8}{a_4x + a_5y + 1}$$

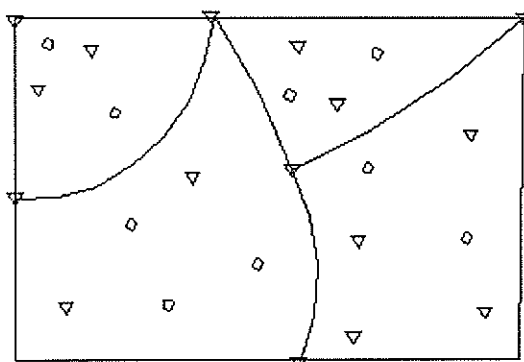
وكمما هو واضح فإن تطبيق هذا التحويل يحتاج على الأقل إلى أربعة نقاط تحكم على الأرض المchorة، وبذلك فهو الأفضل من الناحية العملية ، ولكن تبقى مسألة مدى دقة المعلومات المستبطة باستعمال هذا التحويل (الإحداثيات الأرضية).

(د) المتوسط الحسابي Arithmetic Mean

في هذا التحويل يتم تقسيم الصورة الرادارية إلى أربع قطع كل منها له ثلاثة نقاط مرکزية (nodes) (الشكل ١٤). بعدها يستعمل التحويلان الرياضيان المطابق والمشابه في كل قطعة على حدة لحساب عوامل التحويل. وهذه العوامل تستعمل بدورها في حساب الأخطاء المترية في النقاط المركزية. هذه الأخطاء المترية المحسوبة تستعمل في حساب الأخطاء المترية المتوقعة وجودها في بقية النقاط الدائرية في الشكل (١٤) :

شكل رقم (١٤)

تحويل المتوسط الحسابي



وذلك باستعمال المعادلة : -

$$v_j = \sum_{i=1}^3 \frac{1}{d_{ij}} \cdot v_i / \sum_{i=1}^3 \frac{1}{d_{ij}}$$

حيث :

v_j = الخطأ المترى في أي نقطة في القطعة.

v_i = الخطأ في نقطة مركزية

d_{ij} = المسافة بين أي نقطة صورية في القطعة ونقطة مركزية

$1/d_{ij}$ = دالة وزنية

وعليه فإن الأخطاء المترية المحسوبة في القطعة الواحدة تستعمل لحساب

الدقة المترية لهذه القطعة في هيئة انحراف معياري باستعمال المعادلة :

$$\sigma = \pm \sqrt{\sum_{i=1}^n v_i^2 / n}$$

بعدها تحسب، الدقة المترية لكل الصورة باستعمال القانون

$$\sigma_g = \pm \sqrt{\frac{\sum_{i=1}^m \sigma_i^2 n_i}{\sum_{i=1}^m n_i}}$$

حيث σ_i الاخraf المعياري للقطعة "i" . n عدد النقاط المقاسة على القطعة .

نتائج التجربة

الجدول (٦) يوضح النتائج التي تحصلنا عليها في هذا البحث، وتبه القارئ بأن عدد النقاط (المعالم المضورة) التي أمكن معرفتها بداية هي ٦٤ ، وبعد استعمال التحويل الرياضي المباشر وجد أن ١٥ من هذه النقاط غير صالحة للاستعمال لغرض هذه التجربة (أي ٢٣٪)، (يعنى أن الخطأ المترى فيها يزيد عن ٣ ضعاف الانحراف المعياري للصورة، وهذا غير مقبول في التجارب الإحصائية -حالة الرفض الإحصائي-)، وعليه فإن عدد النقاط أصبح ٤٩ نقطة. ولا اختيار الدقة الموقعة للمعلم المضورة اخترنا ٢٤ من هذه النقاط كنقاط تحكم Control Points (لحساب عوامل التحويلات الرياضية) وما تبقى من النقاط استعمل نقاط (تأكد) Check Points وكانت النتائج كما في الجدول (٦).

جدول رقم (٦)

نتائج البحث بالأمتار

نقط تحكم (٢٠)			نقط تحكم (٢٤)			التحويل الرياضي
σ_p	σ_N	σ_E	σ_p	σ_N	σ_E	
٣١٣±	١٨٠±	٢٥٧±	٣٤٨±	٢٣٥±	٢٥٧±	المطابق
٦١±	٤٢±	٤٤±	٦٢±	٤٥±	٤٥±	المشابه
٦٣±	٤٤±	٤٥±	٦٠±	٤٠±	٤٥±	حدود رباعية
٦٣±	٤٤±	٤٥±	٥٦±	٢٨±	٤٠±	حدود خماسية
٦٢±	٤٤±	٤٣±	٥٤±	٣٧±	٤٠±	حدود سداسية
٦٣±	٤٤±	٤٦±	٥٢±	٣٧±	٣٨±	حدود سباعية
٦٤	٤٤	٤٧	٥٣	٣٧	٣٨±	حدود ثمانية
١٢٥±	١٠٥±	٦٨±	١٣٥±	١٠٥±	٨٥±	إسقاطي
٤٢٧٨±						متوسط حسابي (مطابق)
٤١٧٠±						متوسط حسابي (مشابه)

• أخراج معياري مجمع Grand-Pooled

تحليل النتائج

النتائج على الجدول (٦) تفسر نفسها، ولكن لا بد من التعليق على بعض محتوياتها.

التحول المباشر أعطى دقة مترية متواضعة حيث كان الخطأ الأفقي 348 ± 313 متراً لنقط تحكم و 61 ± 61 متراً على التوالي. عند استعمال التحويل المشابه تحسنت هذه القيم إلى 63 ± 63 متراً و 61 ± 61 متراً على التوالي. ويمكن تفسير هذا بأن هذه الصورة الرادارية من القمر الصناعي الروسي الماز المعالجة بصرياً تحتوي على أخطاء مقياسية كبيرة. وللتتأكد من ذلك كان لا بد من القيام برسم أشكال خطأ الموجهات Vector Error Diagrams لهذه الصورة من نتائج التحويلين

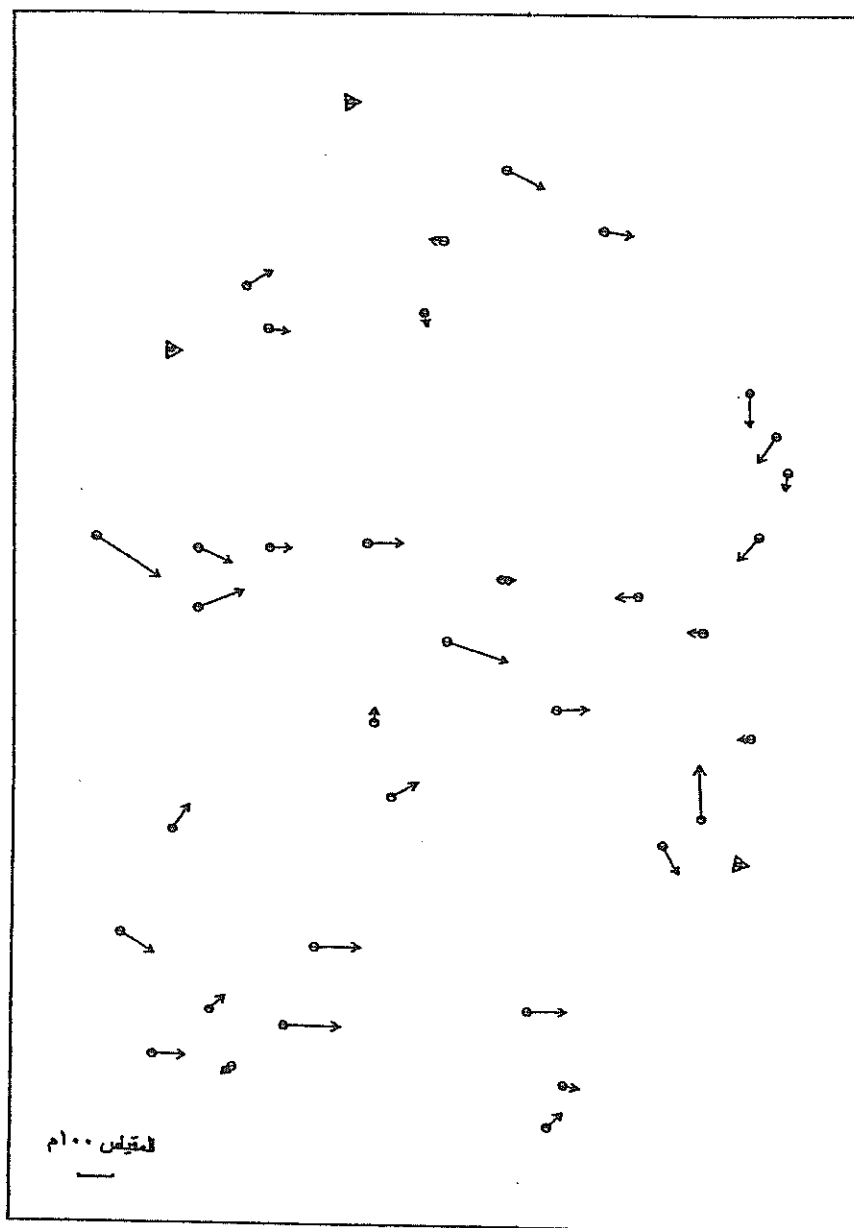
المباشر والمشابه ، (الأشكال ١٥ و ١٦) ، وكما هو واضح فإن الشكل (١٥) يبيّن وجود أخطاء منتظمة كبيرة ، أي أن معظم أخطاء الموجّهات تشير إلى اتجاه معي (نحو مركز الصورة) في حين أن هذه الظاهرة اختفت كثيراً عند استعمال التوجيه المشابه (الشكل ١٦) . كما نلاحظ من الجدول (٦) أنه بإضافة حدود أخرى لمعادلات التحويل فإن النتائج لا تتحسن كثيراً مما يعني أن التحويل المشابه رغم بساطته كاف لاستبطاط معلومات متربة موقعية (عسكرية أو مدنية) من صور هذا النوع من الرادار . كذلك فإن التحويل الإسقاطي أعطى دقة متربة قدرها ± 135 مترًا ل نقاط التحكم ± 125 مترًا لن نقاط التأكيد ، وهي دقة أحسن كثيراً من دقة التحويل المباشر ، ولكنها أضعف من دقة التحويل المشابه . وعليه فإن التحويل الإسقاطي يمكن استعماله في حالة الرغبة في الحصول على معلومات موقعية استشكافية أولية يمكن بعدها تحديد الواقع ، والأهداف العسكرية أو المدنية بواسطة جهاز استشعار عن بعد آخر ، أما الدقة التي تحصلنا عليها من تحويل المتوسط الحسابي فضعيفة . وإذا أخذنا في الاعتبار المدة الزمنية التي تحتاجها لتقسيم الصورة لقطع مناسبة ، فإن هذا التحويل يبدو غير مناسب خاصة في الاستعمالات العسكرية حيث السرعة مطلوبة في العثور على المعلومات والبيانات.

مقارنة نتائج البحث مع نتائج أخرى سابقة

أجرى عدد من علماء الرادار (عسكريون ومدنيون) أبحاثاً تتعلق بالرادار ودقته المتربة والتفسيرية وطرق معالجة صورة . الجدول (٧) يوضح نتائج بعض

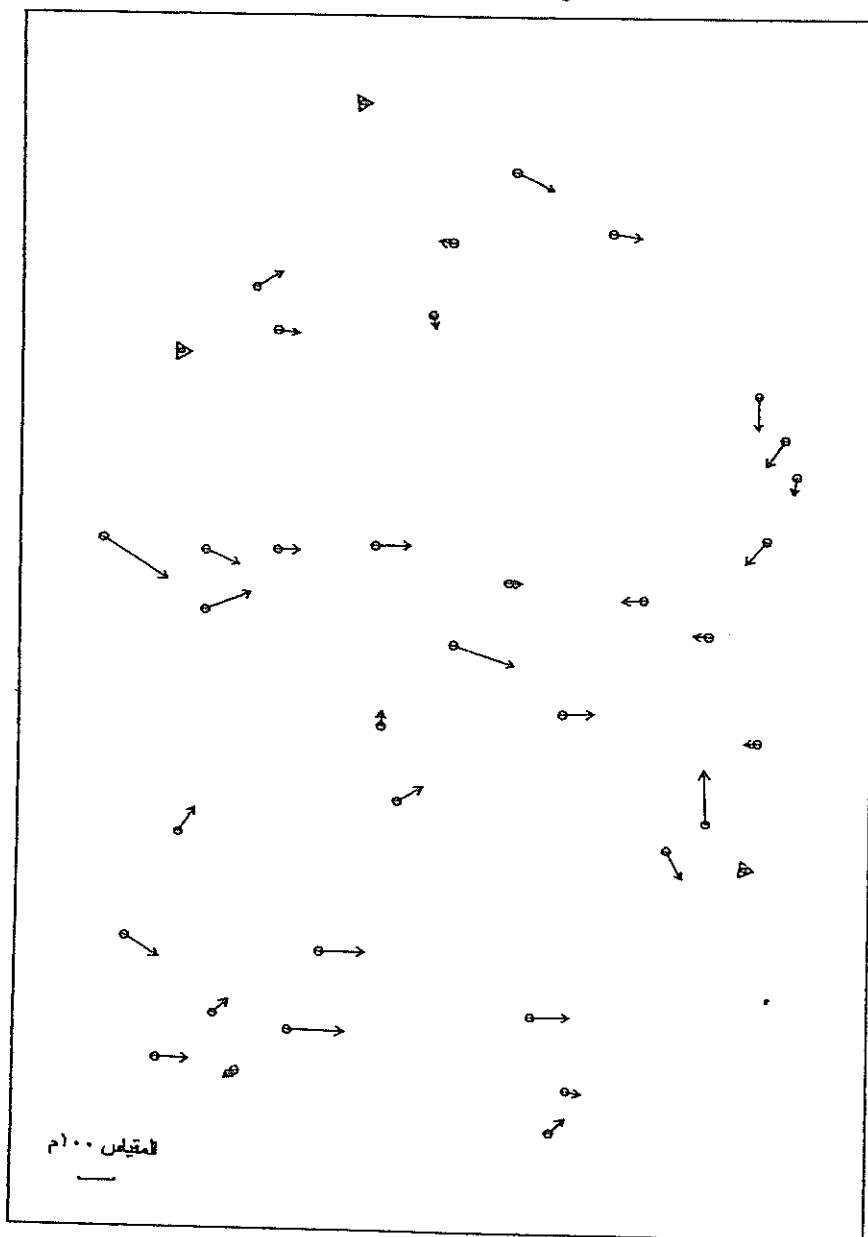
شكل رقم (١٥)

خطا الموجهات بعد التحويل المباشر



شكل رقم (١٦)

خطاً الموجات بعد التحويل المشابه



هذه الأبحاث. وكما هو واضح في الجدول فإن جميع النتائج تتفق على أن استعمال التحويل الرياضي المباشر يعطي دقة متواضعة (من ± 129 مترًا إلى ± 970 مترًا) وهذا يتفق مع نتائج هذا البحث ، أي أن الصور الرادارية بصفة عامة لا يمكن استعمالها مباشرة بغرض استنباط معلومات متيرية عن موقع أرضية ، ذلك لوجود أخطاء مقياسية فيها ناتجة عن طبيعة عمل جهاز الرadar وعند استعمال التحويل الرياضي المشابه تحسنت النتائج كثيراً. (± 107 مترًا ، ± 126 مترًا) وكذلك عند استعمال التحويلات الرياضية متعددة الحدود حيث يمكن تحسين الدقة إلى ٦٣ مترًا. الجدول (٨) يقارن نتائج عدة أبحاث أجراها كاتب هذا البحث على عدد من صور الرادار في أزمان وأماكن مختلفة.

لكي تكون هذه النتائج أكثر فائدة لابد من مقارنتها بالمتطلبات المعيارية للخرائط والتي يمكن اختصارها في الجدول (٦) بالشكل (١٧) وإذا قارنا النتائج التي حصلنا عليها بالجدول (٩) بالشكل (١٧) نجد أنه ومن وجهة نظر هندسية بحثة فإن صور رadar الماز لمنطقة الرياض تحكتنا من رسم خرائط لمنطقة المغطاة على مقياس رسم ١٢٥٠ و ١٠٠٠ وأصغر. ومما لاشك فيه أن الميزة الاقتصادية العلمية والتغطية الواسعة لصور الرادار تجلی في حقيقة أنها تحتاج إلى حوالي ٢٥ صورة جوية على مقياس ١/٤٠٠٠ لتغطية نفس المنطقة ، وإلى حوالي ١٠٪ من نقاط التحكم التي تحتاجها هذه الصور الجوية لرسم خرائط المنطقة. هذه الميزات تكون أكثر وضوحاً وأكثر فائدة في حالة الحرب حيث إنأخذ الصورة الجوية يتطلب طائرات تصوير خاصة تخلق على ارتفاعات منخفضة نسبياً لتصوير الأهداف مما يعرض هذه الطائرات للخطر ، في حين أن صور الرادار

جدول رقم (٧)

نتائج أبحاث سابقة أجراها علماء آخرون.

الدقة البلاغتية المحسوبة (م)			نوع الرadar	سنة النشر	اسم الباحث
المطابق	المتشابه	الحدودية (٧ حدود)			
٦٧	١٢٦	٩٧٠	سياسات	١٩٨١ م	محمد
-	-	١٢٩	رادار المكوك الفضائي (أ)	١٩٨٥ م	لبيرل وآخرون
-	-	١٤٦	سياسات	١٩٨٥ م	لبيرل وآخرون

جدول رقم (٨)

نتائج أبحاث رادارية سابقة للمؤلف.

الدقة المحسوبة (م)	سنة النشر	نوع الرادار
(٣٤٤) (مطابق) (١٠٧) (متشابه) (١٠٨) (حدودية من ٧ حدود)	١٩٨٧ م	سياسات
(١٣٤) (مطابق) (١٢٣) (متشابه) (٦٣) (حدودية من ٧ حدود)	١٩٩١ م	المكوك الفضائي (ب)
(١١١٢) (مطابق) (٩٨٢) (متشابه)	١٩٩١	المكوك الفضائي (أ)

جدول رقم (٩)

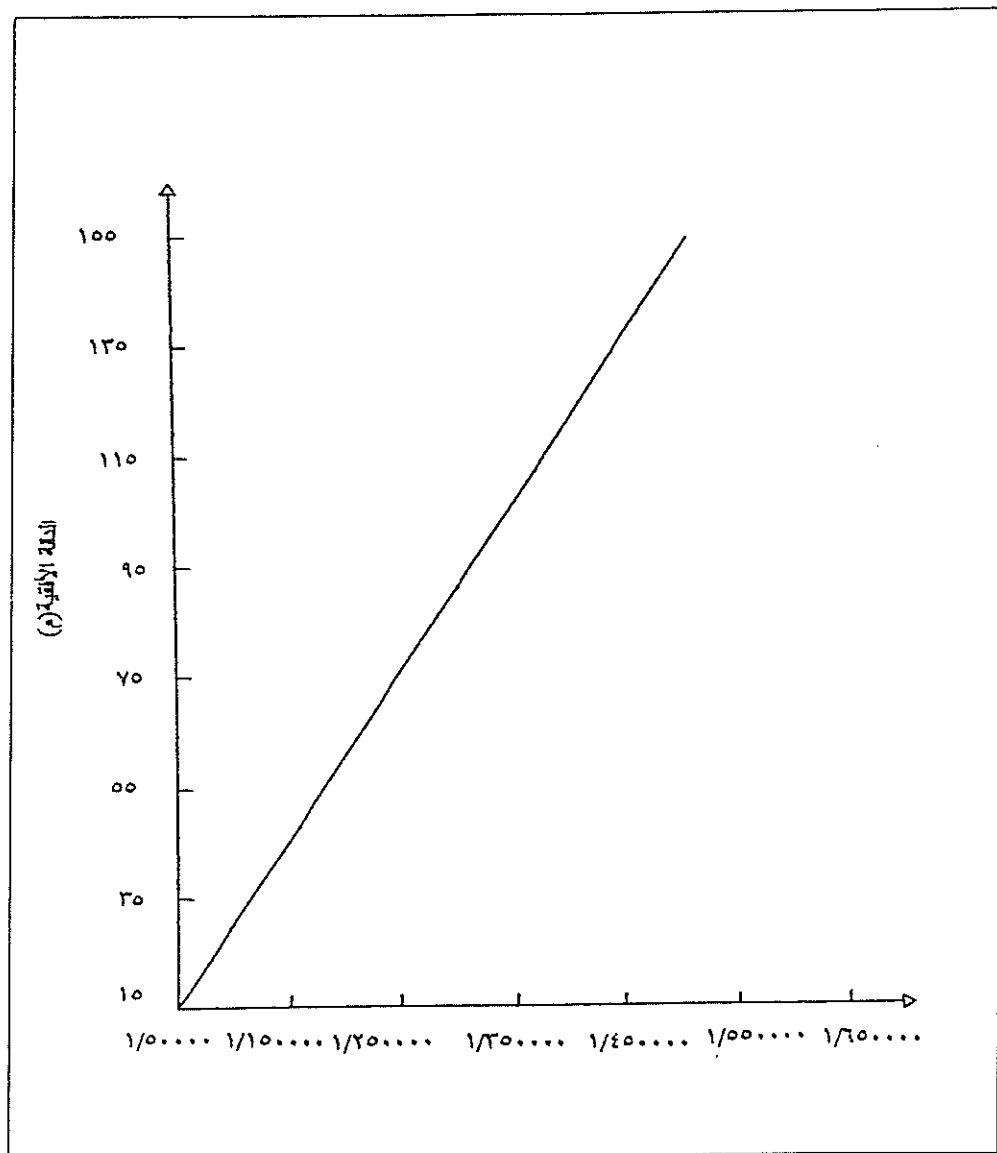
معايير الخرائط حسب مواصفات حلف شمال الأطلسي

الدقة المطلوبة بالأمتار	مقاييس رسم الخريطة
٨	٢٥٠٠٠/١
١٦	٥٠٠٠٠/١
٣٠	١٠٠٠٠٠/١
٧٥	٢٥٠٠٠٠/١
١٥٠	٥٠٠٠٠٠/١
٣٠٠	١٠٠٠٠٠٠/١

تؤخذ دون الحاجة لأن تطير الطائرة التي تحمل الجهاز فوق المنطقة المعنية مباشرة. تبقى بعد ذلك مسألة الدقة الموضوعية ، وتفسير ما تحتويه الصورة الرادارية للوصول إلى معرفة الأهداف الموجودة على الأرض. ذلك لأن الاختيار الموفق والصحيح لنقط أرضية مصورة كما في هذه التجربة ، قد لا يعكس مقدرة جهاز الرادار في تحديد هوية المعالم المصورة ومعرفة كنهها ، وطبيعتها ، والاستفادة من المعلومات المستنبطة في الأغراض العسكرية والأمنية. ولذلك لابد من إخضاع صورة الرياض هذه لسلسلة من التجارب التفسيرية لتحديد ما إذا كان رادار الماز قادرًا على إعطاء معلومات تفسيرية مفيدة للمعالم المختلفة في مدينة الرياض طبيعية كانت أو صناعية أو نباتية ، ولأغراض عسكرية ، مدنية أو أمنية

شكل رقم (١٧)

متطلبات دقة الخرائط الطبوغرافية حسب مواصفات خلف شمال الأطلس



تفسير صورة رادار الماز لمدينة الرياض

من المعلوم أنه من غير الممكن أن تجري أي نوع من أنواع القياس المترى على أي صورة دون أن يكون ذلك مسبقاً بإجراء نوع ما من أنواع التفسير والتحليل لمحويات الصورة . في هذا الجزء من البحث سوف تقوم بتحديد ما يمكن وما لا يمكن رؤيته ومعرفته في مدينة الرياض من صور رادار الماز الروسي ، وذلك باستعمال المواصفات العالمية المطلوبة لرسم الخرائط الطبوغرافية حسب مواصفات حلف شمال الأطلسي NATO Map Specifications . من المعلوم الآن أن الصور الفوتوغرافية الجوية ، وصور الرادار تؤخذان بجهازين مختلفان اختلافات أساسية وجذرية فيما يختص بطول الموجه ، طريقة العمل ، الخصائص الهندسية لكل جهاز ، طريقة المعالجة للمتاجن النهائي ، إلخ ، ولهذا يجب أن تتوقع اختلافات كثيرة في صورتين لنفس المنطقة أخذت إحداهما بكاميرا مترية والأخرى بواسطة جهاز رادار ، بمعنى أن معلم ما على الأرض ربما يظهر بوضوح شديد في إحداهما ، ولكنه غير موجود بتاتاً في الصورة الأخرى . وبما أن العوامل المستعملة في تفسير الصورة الجوية معروفة ومحددة في حين أن تلك التي تختص بتحليل وتفسير الصور الرادارية غير مألوفة فسوف تقوم الآن بشرح هذه العوامل باختصار حتى يتمكن القارئ أن يقارن بينها وبين تلك التي تستعمل في تفسير الصور الجوية . بعدها سوف ننتقل إلى شرح الطرق العملية التي استعملت في هذه التجربة لتحديد ومعرفة المعالم المختلفة في مدينة الرياض من صور رادار الماز .

العوامل التي تؤثر على تفسير صور الرادار

إذا استثنينا عوامل مثل قدرة مفسر الصورة وخبرته ونوعية الجهاز المستعمل في التفسير، فهناك مجموعتان من العوامل تؤثران تأثيراً مباشراً وقوياً على قدرة جهاز الرادار على تحديد معالم الأرض. وهاتان المجموعتان هما:

(١) هندسة نظام الرادار. (٢) خصائص انعكاسية الأشعة من المعالم.

فيما يختص بالنقطة الأولى فإن أهم العوامل الهندسية المؤثرة هي:

(أ) القدرة التمييزية للجهاز: System Resolution

(ب) اتجاه التصوير (أي الزاوية المحصورة بين اتجاه أشعة الرادار والأجسام على الأرض ، حيث إن الأجسام العمودية لاتجاه الأشعة تبدو أكثر وضوحاً) (ج) الخصائص العامة للأجسام المصورة (مثلاً طبوغرافية الأرض).

(د) مقدار الزاوية المحصورة بين الخط العمودي على الأرض واتجاه أشعة الرادار، (وهي الخاصية التي تحكم في كمية الأشعة المعكوسه لجهاز الاستقبال مما يسهل أو يصعب عملية تحديد ومعرفة معالم الصورة).

وهناك الخصائص التشتيتية للأرض ، التي لها دور كبير في تحديد نسبة انعكاس أشعة الرادار نحو الموائي المثبت على الطائرة أو القمر الصناعي ، وهي بدورها تتأثر بالخصائص الفيزيائية لنظام الرادار ، وخصائص الأرض المصورة ، والمعالم الموجودة عليها .. وتتدخل هذه الخصائص مع بعضها البعض . وتعتبر درجة خشونة السطح من أهم الخصائص التشتيتية للأرض . وفي هذا المنحى يعتبر السطح المصور رادارياً خشنًا إذا انطبقت عليه هذه المعادلة .

$$d < \frac{\lambda}{8 \sin\Phi}$$

حيث "d" هي درجة خشونة الأرض.

λ = طول موجة الرادار .

و زاوية سقوط أشعة الرادار.

وعليه وكمقاعدة عامة ، أنه كلما كان السطح المصور أكثر خشونة بالمقارنة مع طول الموجة كلما كانت نسبة الأشعة المعكosa إلى الهوائي أكبر، وبالتالي يكون الجسم المصور أكثر وضوحاً من غيره من المعالم المحيطة به.

ويميز الرادار بين مستويين من الخشونة السطحية (شكل ١٨) :

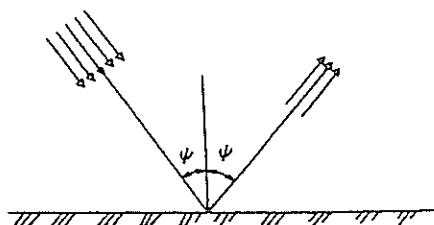
١ - تلك الناتجة من انعكاس سطح أملس أو شبه أملس Specular Reflection

٢ - تلك الناتجة عن انعكاس تشتتى من سطح خشن . Diffuse Reflection في الحالة الأولى يعكس الجسم المصور كل الأشعة الساقطة عليه تقريباً في اتجاه معاكس ، وبالتالي يظهر الجسم أسود في صورة الرادار لأن الجهاز لم يستلم منه أي أشعة معكosa ، أما إذا كان هذا السطح عمودياً على اتجاه الأشعة فإن المعلم يبدو واضحاً على الصورة الرادارية .

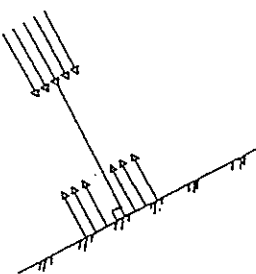
من ناحية أخرى فإن الانعكاس التشتتى Diffuse Or Scattered Reflection ينتج عن سطوح خشنة مقارنة بطول موجة الرادار ، وفي هذه الحالة تبدو الأجسام العاكسة واضحة جلية على الصورة. ومن المعالم التي ينتج عنها :

شكل رقم (١٨)

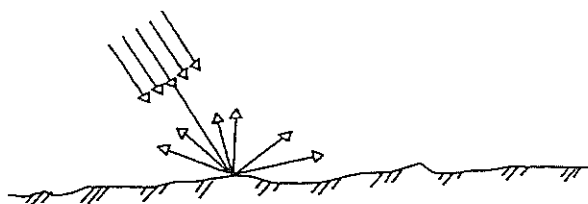
مستوى الخشونة في تفسير صور الرادار



(ا) سطح لملن: كل الاشعة تعكس بعيدا عن الجهاز مما يصعب تفسير المعلم.



(ب) الأرض عمودية على اتجاه الأشعة: جزء كبير من الأشعة تعكس نحو الجهاز مما يسهل تفسير المعلم.



(ج) سطح خشن: جزء من الاشعة تعكس بعيدا عن الجهاز و الآخر نحوه تفسير المعلم يعتمد على كمية الأشعة المنعكسة نحو الجهاز.

- انعكاس تشتيتى: الغابات، المحاصيل الزراعية، الحدائق العامة، مجموعات الأشجار... الخ، حيث تبدو هذه المعالم ذات لون رمادي، اعتماداً على كمية الطاقة المرسلة منها إلى الطائرة، أو القمر الصناعي، وهذا بدوره يعتمد على طبيعة المعلم نفسه ودرجة خشونته.

عناصر تحليل وتفسير الصورة الرادارية

هنا لابد أن نفهم أن الصورة الرادارية المأخوذة لمعلم أو مكان ما تختلف في مظاهرها وطريقة أخذها ومعالجتها اختلافاً كبيراً عن صورة جوية أخذت لتنطوي نفس المعلم بواسطة كاميرا متربة جوية. وعليه فإن الطرق المستعملة في تفسير الصور الجوية قد لا تكون ذات جدوى كبيرة في تفسير صور الرادار. وقد يكون من المفيد مناقشة العوامل التي تساعد على تفسير وتحليل الصور الرادارية :

١- الحجم **Size** : - في حالة الصور الرادارية يجب أن يكون حجم المعلم أو الجسم أكبر من الدقة التمييزية لنظام الرادار حتى يمكن رؤيته. كما أن استعمال هذه الخاصية يكون مفيدة فقط في حالة إزاحة جميع التشوهات المتربة والإشعاعية في الصورة الرادارية في مرحلة تسبق مرحلة التفسير.

٢- الشكل **Shape** : - يتأثر شكل معلم معين على الصورة الرادارية بالاتجاه الذي تأتي منه أشعة الرادار . وعليه فإن شكل المعلم على صورة الرادار قد يعطي انطباعاً غير صحيح عن شكله الحقيقي على الأرض، كما أن بعض المعالم تكون واضحة وغيرها ليست كذلك ، فقط بسبب وضع المعلم على الأرض، واتجاه الأشعة الرادارية المبعثة من الهوائي. وعليه فليس من الممكن

دائماً معرفة معلم ما على صورة الرادار اعتماداً على شكله الحقيقي.

٣- **اللون Tone**: - ترتبط خاصية اللون بكمية الأشعة التي يعكسها الجسم. وعليه يمكن التمييز بين الأجسام المصورة باستعمال خاصية الاختلاف في لونها على الصورة الرادارية. ولكن نسبة الأشعة المعكosa من الأجسام تعتمد بشكل أساسى على بعض خصائص الجسم مثل تكوينه الفيزيائي والكيميائى ، ودرجة خشونته ، وخصواصه الكهربائية والمغناطيسية ، وموقعه بالنسبة لأنشطة الرادار لحظة التصوير. وهذه عوامل - كما هو واضح - معقدة، وربما غير مفهومة لمفسر الصورة ، والذي قد يجد نفسه غير قادر على حساب أو تقدير تأثيرها على تفسير وتحليل الصورة التي بين يديه.

٤- **النمط Pattern**: - النمط يعني التنظيم العام أو الشكل العام لمكونات جسم ما ، فمثلاً تكون المعاالم التي صنعها الإنسان نمطاً خاصاً يساعد على معرفتها على الصورة الجوية المأخوذة بكاميرا متربة فوتغرافية. أما في حالة الرادار فعلى مفسر الصورة أن يأخذ في اعتباره أن النمط المنتظم قد ينتج كلياً أو جزئياً عن وضع الأجسام العاكسة بالنسبة لاتجاه أشعة الرادار. وعليه فإن خاصية النمط قد لا تلعب دوراً مهماً في تفسير وتحليل الصور الرادارية كما هو الحال في تفسير وتحليل الصور الجوية المأخوذة بواسطة الكاميرات المتربة الفوتغرافية.

٥- **الظل Shadow**: - الظل خاصية مهمة في تفسير وتحليل الصورة الجوية ، وذلك لأن الظل يوضح شكل الجسم المصور وبالتالي يمكن من معرفته وتحديد هويته. ولكن ما يجب الانتباه إليه في حالة الرادار أن الظل يعني عدم

وصول أي أشعة من المنطقة المظللة في حين أنه في حال الصورة الجوية يمكننا رؤية بعض الأجسام الواقعة في منطقة الظل. إذا ظهرت الظل في الصورة الرادارية تعتبر إحدى المعوقات الرئيسية للاستفادة من صور الرادار في عمليات المسح الطبوغرافي بشقيها العسكري والملكي. ولا يبدو أن هناك حالاً ناجعاً لهذه المشكلة في الوقت الحاضر وعلى المدى القريب.

٦- درجة النعومة Texture: - وهي معدل الاختلاف في لون المعلم المصور فمثلاً يمكن تمييز الصخور النارية عن الصخور المتحولة باختلاف درجة نعومتها على الصورة الرادارية. وهي خاصية استفاد منها بعض الجيobiجين وعلماء الغابات والزراعة في تفسير وتحليل صور الرادار.

٧- الموقع Site: - يلعب موقع جسم ما بالنسبة إلى ما حوله دوراً كبيراً في معرفة وتفسير هذا المعلم على صور الرادار، فمثلاً في كثير من صور الرادار يمكننا معرفة الأنهار الصغيرة عن طريق تحديد ومعرفة الأشجار التي تنمو على جانبي النهر حيث إنَّ الأشجار تعكس أشعة الرادار بصورة أكبر من النهر أو المجرى المائي.

تفسير صور رادار الماز لمنطقة الرياض

بعد أن شرحنا باختصار العوامل المختلفة التي تؤثر على عملية تفسير الصور الرادارية، وتدخل هذه العوامل مع بعضها البعض ، يمكننا الآن أن نرى تأثير ذلك على مدينة الرياض من صور رادار الماز الروسي ، وذلك بدراسة معالم معينة في الرياض ومقارنته ذلك بالخرائط الطبوغرافية ذات مقاييس الرسم المتوسط ($1/50000$) لهذه المدينة. وعلى ضوء ما توصلنا إليه في الجزء الأول من

الدراسة (أي أن رadar الماز يصلح لترسيم خرائط موضوعية على مقاييس رسم ٢٥٠٠٠٠١) يمكننا الآن تقييم محتويات الصور الرادارية لمنطقة الرياض فيما يخص سهولة تفسير المعالم المختلفة للمدينة على الخرائط الطبوغرافية للمدينة. بدأ هذا الجزء من الدراسة بتحضير قائمة من خمس مجموعات تحتوي على المعالم المهمة في مدينة الرياض ، وهي خطوط الاتصالات ، المباني والمعالم الحضرية ، المعالم المائية (الميدرولوجيا) ، النباتات (المعالم الحضراء) ، والمعالم الطبيعية والتضاريسية. تمت عملية تفسير وتحليل الصورة يدويا (دون استعمال برامج الحاسوب لتفسير الصورة الجوية ، وذلك نسبة للاختلاف الكبير بين هذه الصور وصور الرادار ، كما لم يستعمل برنامج ERDAS الحديث نسبة لبعض الصعوبات التي تتعلق بهذه الصورة) باستعمال جهاز استريو سكوب الجيب (نسبة تكبير $\times 5$) ، وعدسة مكبرة ذات جودة عالية (نسبة تكبير $\times 8$). وفي حالة عدم وضوح بعض المعالم على الصورة رغم توقع ظهورها فإن مؤلف هذا البحث كان يقوم بزيارة الواقع للتأكد من مطابقة الموقع لما تم تفسيره على الصورة. أما إذا تعدرت زيارة الموقع فإن المؤلف كان يقوم بسؤال بعض من حوله من لهم خلفية قوية عن المنطقة المغطاة.

بعد ذلك يتم رسم المعالم المفسرة باستعمال راسم مبسط على نسخة مكبرة ثلاثة مرات من الصورة الرادارية الأصلية. بعد إكمال عملية التفسير تتقاسم أطوال الخطوط والمساحات المرسومة باستعمال جهاز بلانيметр إلكتروني ذي دقة عالية (0.2 ملم)، وتحويل هذه القياسات إلى أمتار أو كيلو مترات مربعة

باستعمال مقياس رسم الخريطة المرسومة من صورة الرادار، وفيما يلي نتائج هذا الجزء التفسيري من الدراسة:

١- خطوط الاتصالات *Lines Of Communication*

تعنى بخطوط الاتصالات في مدينة الرياض الطرق السريعة ، والطرق درجة أولى ودرجة ثانية ، والطرق الثانوية ، وخطوط السكة الحديد. عند محاولة تفسير وتحديد هذه المعالم وجد أنه إذا كان الطريق موازيًا أو شبه موازي لسقوط مدار القمر الصناعي على الأرض فإن الطريق يظهر بوضوح كخط أبيض أو رمادي على الصورة. لكن إذا غير الطريق اتجاهه فقد يختفي تماماً من الصورة، هذا يؤكّد ما توصل له الباحث في عدة أبحاث سابقة(مثلاً على ١٩٨٥ م، ١٩٨٧ م، ١٩٨٨ م، ١٩٩٤ م).

من ناحية أخرى فقد كان من الصعوبة تمييز وتحديد ومعرفة الطرق التي تفصل بين المجموعات السكنية في المدينة (الطرق المشيدة داخل الأحياء) في حين أن كثيراً من الطرق من الدرجة الأولى (مثل شارع العليا العام وشارع التخصصي)، والطرق من الدرجة الثانية (مثل طريق صلاح الدين الأيوبي)، وبعض الطرق الثانوية يمكن تمييزها في بعض أجزائها الموازية لخط طيران المركبة الفضائية. أما خط السكة الحديد الوحيد الذي يربط بين الرياض والمنطقة الشرقية فقد اختفى تماماً عن الصورة، والسبب المباشر في عدم ظهوره هو أنه يكون زاوية قائمة مع خط الطيران.

ولعله من المدهش أن نذكر أن الكثير من الطرق غير المرصوفة خارج حدود المدينة مباشرة ظهرت بوضوح شديد ، ويكون تمييزها وقياس أطوالها

ومتابعة مسارها بسهولة خاصة حين تكون موازية لسقوط خط الطيران على الأرض.

المباني والمعالم الحضرية *Settlements And Cultural Features*

قسمت هذه المجموعة إلى أربعة أصناف هي المساحات المشيدة، الجسور، المطارات، وخطوط نقل الإمداد الكهربائي.

١- المساحات المشيدة *Built-up Areas*

في صورة الماز لمنطقة الرياض تبدو هذه المجموعة في شكل مساحات بيضاء (شديدة البياض أحياناً) يمكن معرفتها وتمييزها وتفسيرها بسهولة ويسر، وكان من السهولة تحديد الحدود الإدارية للأحياء المختلفة (مثلاً بين أم الحمام والمunder، العليا والسلمانية ، النسيم والريوة .. إلخ)، وكذلك أمكن تحديد وتفسير الكثير من المباني والإنشاءات المنعزلة (التي لا تحيط بها مبانٍ قرية منها جداً) (مثلاً الأحياء الجديدة تحت الإنشاء في شمال الرياض، أجزاء من المنطقة الصناعية، نادي الشباب، الاستراحات الكثيرة خارج حدود المدينة .. إلخ). ولكن في كثير من الأحيان كان من الصعب تحديد ما إذا كانت المساحة المشيدة مبني سكنياً، صناعياً أو ترفيهياً إلا بمساعدة عوامل أخرى مثل الموقع ، أو النمط ، أو سؤال من يعرفون المنطقة معرفة تامة.

٢- الجسور والمطارات *Bridges And Airports*

ظهرت مدرجات القاعدة الجوية بالسليمانية بوضوح شديد في شكل مساحات طولية داكنة تحيط بها مساحات بيضاء ، هي عبارة عن المباني التي تحيط بالقاعدة، كذلك ظهر مطار الملك خالد الدولي بوضوح شديد على

الصورة، بل حتى المباني الصغيرة داخل المطار ، والتي تختص بعمليات المساندة ظهرت أيضاً بوضوح. كذلك ظهرت بعض الطائرات التي كانت جائحة في المطار لحظة التصوير، لكن بدرجة أقل.

٣- خطوط نقل التيار الكهربائي Power Lines

سجلت هذه المعالم غياباً تاماً على الصورة بما في ذلك خط النقل الضخم ذي الأبراج الكبيرة في منطقة السويدسي، ربما بسبب الزاوية شبه القائمة التي يشكلها مع خط الطيران . أما هوائيات المايكرويف الضخمة في شرق حي النسيم فقد كانت في غاية الوضوح ، ويمكن معرفتها بسهولة ويسر. ييد أن أبراج المايكرويف الكثيرة المنتشرة داخل الرياض فقد صعب تحديدها، وتفسيرها على صورة رadar الماز.

المعالم المائية Hydrology

تحتوي هذه المعالم في مدينة الرياض على الوديان الجافة، وأماكن معالجة مياه الصرف الصحي. وأهم هذه المعالم في الرياض هو وادي حنيفة، والذي يمكن تحديده وتفسيره لمسافة طويلة من مجراه ، لأن خط الطيران يشكل زاوية نصف قائمة مع هذا الوادي. ولكن هناك أجزاء أخرى من الوادي (وبالأخص وادي لبن أحد روافد وادي حنيفة) يصعب تتبعها على الصورة إلا بالاستعانة بالخرائط الطبوغرافية للمنطقة. وعليه يبدو من الصعوبة بمكان استعمال صور رادار الماز في استكشاف العالم المائي بدقة.

النباتات (المعالم الفضاء) *Vegetational Features*

تحتوي هذه المعالم على المنتزهات الترفيهية، البساتين، والمجموعات الشجرية:

١- المنتزهات الترفيهية *Ornamental Parks*

في مدينة الرياض توجد العديد من المنتزهات الترفيهية العامة ذات الأشجار الكثيرة نسبياً. بعض هذه الحدائق يمكن معرفته بسهولة من الصورة (حدائق الوادي، الخزام، خان شلليلة، حديقة الربوة) حيث تظهر هذه الحدائق على شكل مساحات رمادية داخل مساحات أكبر وأكثر بياضاً تتمثل في المباني الحبيطة الطبوغرافية.

٢- البساتين *Orchards*

توجد بعض البساتين على جانبي وادي حنيفة ، ووادي لبن ، وفي بعض أطراف الرياض الأخرى ، ولكن بالرغم من الجهد الكبير الذي بذله الباحث في معرفتها وتحديدتها على صورة الرادار إلا أن كل تلك المحاولات لم تكن ناجحة تماماً وصعب تفسير هذه المعالم وتحديد موقعها.

٣- المجموعات الشجرية *woodlands*

لا توجد مجموعات شجرية كبيرة في أو حول الرياض ما عدا بعض مجموعات الأكاشيا والنخيل في وادي حنيفة ، ولبن ، وبعض الوديان الموسمية جنوب الرياض. وقد باءت عمليات تحديد ومعرفة هذه المعالم بالفشل في جميع الحالات بما في ذلك استعمال الخرائط الطبوغرافية في عملية التفسير وزيارة الواقع ميدانياً.

٤- المعالم الطبيعية والطبوغرافية And Physical Relief Features

ظهرت المعالم الطبوغرافية والطبيعية (التلل، والجبال، والوديان، والمنخفضات إلخ) بوضوح على صورة الرادار، وقد أعطت انطباعاً جيداً عن التضاريس حول المدينة ، ولكن نسبة لاختصاص الدراسة بصورة رادارية واحدة فقد كان من المستحيل حساب ارتفاعات هذه المعالم عن مستوى سطح البحر.

تقدير التجربة التفسيرية لصورة الرادار

بعد هذا العرض لإمكانية معرفة وتحديد المعالم الأرضية على صور الرادار، يمكننا الآن إجراء تقييم كمي لصورة رادار الماز، ولهذا الغرض استعملت الخريطة الناتجة عن تفسير الصورة (مكيرة ٣ مرات أي على مقاييس ١/٥٠٠٠٠ لتوافق مقاييس رسم الخريطة الطبوغرافية). وعلى هذه الخريطة المكيرة قيست أطوال ومساحات المعالم الخمسة التي فسرت على الصورة. ولنجاح هذا الجزء من التجربة قام المؤلف بالاستعانة بموزييك قديم من الصور الجوية الفوتوغرافية لمنطقة الرياض ، وكذلك عدة طبعات من خرائط الرياض متوجة في المساحة العسكرية ، كما قام المؤلف بزيارة بعض الواقع المشكوك فيها.

قيست أطوال المعالم الطولية مثل الطرق، الوديان، السياجات ... إلخ باستعمال جهاز قياس إلكتروني ، وقورنت أطوال هذه المعالم مع أطوالها كما هي موجودة في الخرائط. فيما يختص بالطرق فقد تم التركيز على الطرق الرئيسية مثل طريق الملك خالد، طريق الملك فهد، طريق خريص، طريق الملك عبدالعزيز ... إلخ أما المعالم المساحية مثل المطارات، والمباني، ومجموعات الأشجار وغيرها

فقد قيست مساحتها بواسطة جهاز بلانمتر رقمي، وفي كلتا الحالتين حولت القياسات إلى ما يناسبها على الأرض، وقد كانت نتائج هذا الجزء من البحث كالتالي :

- ١ - الطرق الرئيسية هي أكثر المعالم الطولية وضوحاً على الصورة حيث إنَّ ٨٠٪ من أطوالها أمكن تفسيره بسهولة ودون أخطاء.
- ٢ - أما وادي حنيفة، ووادي لبن، فقد كانت نسبة نجاح تحديدهما ومعرفتهما ٣٠٪ فقط.
- ٣ - كذلك أمكن تفسير ومعرفة حوالي ٧٠٪ من السياج الحديدي لجامعة الملك سعود بسهولة ويسر.
- ٤ - أما المعالم المساحية في العليا، خشم العان، النسيم، المنطقة الصناعية، الدرعية، الحي الدبلوماسي، الشفا .. إلخ ، فقد تمت عملية تحديدها بدقة ووصلت إلى ٨٥٪ على صورة رادار الماز.
- ٥ - حوالي ٧٠٪ من التلال والأماكن المرتفعة حول الرياض أمكن تحديدها بوضوح شديد.
- ٦ - نسبة تفسير المعالم النباتية لم تتعذر ١٠-٢٠٪ في جميع الحالات.

دوجم نتائج التجربة المقترنة والتجربة التفسيرية لصورة رادار الماز، وفاته:

أوضحنات نتائج هذه الدراسة أنه بالرغم من أن رادار الماز هو أول تجربة رادارية فضائية روسية يسمح بإطلاق غير العسكريين على منتجاتها، إلا أنه يدو

أن هذه التجربة لم توفر نظاماً رادارياً قادراً تماماً على كشف معالم الأرض بدرجة دقة تصلح لإنتاج خرائط مدنية أو عسكرية أو أمنية على مقاييس رسم صغير أو متوسط. أحد أسباب هذه المحدودية ربما يعود إلى الطريقة التي عو睫ت بها صورة رadar الماز المستعملة في هذا البحث (الطريقة البصرية (Optical SAR Processing). فقد أثبت المؤلف في أبحاث سابقة (علي ، ١٩٨٥ و ١٩٨٧ م) أن الطريقة التي تعالج بها المعلومات الرادارية تتحكم في النهاية في الدقة المترية والتفسيرية لهذه المعلومات. وكما تبين من هذه الدراسة فإن هناك مشكلتين رئيسيتين في تفسير الصور الرادارية أولاهما تختص بجودة الصور نفسها ، وثانيهما الصعوبات الجمة التي تتعلق باتجاه أو موقع المعلم بالنسبة لاتجاه الأشعة الرادارية. فوجود ظاهرة الضبابية Image Clutter يقلل كثيراً من جودة الصورة ، وبالتالي على عدد المعالم التي يمكن تفسيرها ومعرفتها. أما في الحالة الثانية فقد اختفت الكثير من المعالم الطولية والخطية من الصورة فقط بسبب اتجاهها العمودي أو شبه العمودي مع خط الطيران. ويعني ذلك أننا يجب أن لا نتوقع نتائج تفسيرية متكاملة من صور radar ، وعليه واعتماداً على ما يمكن رؤيته على صورة رادار الماز فإن نسبة نجاح تفسير المعالم المصورة يبدو أنها تتراوح ما بين ٥٠ - ٦٠٪ . وبالرغم من أن الاختبارات الهندسية أثبتت أن رادار الماز يمكن أن يكون صالحًا للاستعمالات الطبوغرافية على مقاييس رسم ١/٢٥٠٠٠ وأصغر ، فإن الاختبارات التفسيرية أثبتت أن المنشآت والطرق الرئيسية فقط هي التي يمكن معرفتها وتحديدها بنسبة أكبر من ٧٥٪ ، في حين أن الكثير من المعالم الطبيعية والحضرية لا يمكن معرفتها بسهولة نسبة بعض الخصائص التصويرية لنظام

الرادار. وعليه يمكننا القول أن رadar الماز الفضائي الروسي يمكن استعماله لترسيم خرائط طبوغرافية و موضوعية و تفسيرية للأغراض المدنية ، والعسكرية ، والأمنية على مقياس رسم ٣٠٠٠٠٠ / ١ وأصغر.

في ختام المقال نشير إلى أن وكالة الفضاء الروسية قد طورت في السنوات الأخيرة جهازاً رادارياً آخر (ESA، 1999) أكثر تطوراً . وما لا شك فيه أن مصممي هذا الجهاز قد استفادوا كثيراً من تجربة الماز ، غير أن صورة هذا الرادار المطور لم تدخل بعد المجال التجاري مثل الرادار الأوروبي المحمول في القمر الصناعي ERS-1 ، والرادار الكندي ESA حيث تستعمل هذه الصور الآن في العديد من التطبيقات المدنية والعسكرية والأمنية في أنحاء شتى من العالم .

المصادر والمراجع

- Ali, A.E., (1985), "Digital Versus Optical Techniques In Assessing Metric Accuracy of Satellite Radars", **Australian Journal of Geodesy, Photogrammetry and Surveying**, No. 42, pp.33-60.
- Ali,A.E . , (1987) , Geometric Accuracy Testing of Orbited Radar Imagery“ Potogrammetric engineesing and Remote Sensing , No. 53,pp.1533 – 1537 , U.S.A.
- Ali, A.E., (1988), **Use of Shuttle Imaging Radar SIR-A and SIR-B Imagery in Mapping Desert Areas in Sudan**, Proceedings Of the 22nd international symposuem of Remote Sensing of environment, Abidjan, cote de Invoire, 20-28th
- Ali, A.E., (1994), **Digital Rectification of Side-looking Radar Data** , Proceedings of the 1st International Airborne Remote Sensing Conference and Exhibition, 11-15 Sept. 1994, Strasbourg, France.
- European Space Agency (ESA), (1994), **Earth observation quarterly**, June.
- Leberl, F, Domik, G.,Raggam, J., Cimino,J. B., and Kobrick,M.,1985."Radar Stereo-mapping - Techniques and Application to SIR-B Images Of Mount Shasta" **IEEE Transactions on Geoscience and Remote Sensing** , No. 24, pp.482-491.
- Levine, D., (1960), **Radargrammetry**, Mc Graw Hill, New York .
- Russian Space Agency, (1991), **Almaz SAR (In Russian)**, (25pages) .



أسعار الإعلانات

صفحة كاملة بمبلغ ١٠٠٠ ريال

نصف صفحة بمبلغ ٥٠٠ ريال

ربع صفحة ٢٥٠ ريال

آخر إصدارات سلسلة بحوث جغرافية

- ٢٨- خصائص ثروة الكثبان الرملية ومدى ملامتها للزراعة الجافة في واحة الأحساء بالسُّلْكَةِ الْعَرَبِيَّةِ السُّوَدَّاَةِ.
٢٩- جغرافية التجارة الخارجية للمملكة العربية السعودية.
- ٣٠- أهمية الأطلس المدرسي في تدريس مادة الجغرافية في مراحل التعليم العام.
- ٣١- العلاقات المكانية والزمنية للأسواق الأسبوعية وخصائصها الجغرافية في واحة الأحساء بالسُّلْكَةِ الْعَرَبِيَّةِ السُّوَدَّاَةِ.
٣٢- المسح الميداني الإلكتروني باستخدام تقنية تجذب الموجات ونظام الربط الأرضي الجغرافي - G.P.S-GEOLINK.
٣٣- تفاصيل الرسم الإلكتروني الزراعي في منطقة وادي الماء بالسُّلْكَةِ الْعَرَبِيَّةِ السُّوَدَّاَةِ.
٣٤- التحليل الإحصائي المتعدد المتغيرات لخصائص أحجام حبيبات الكثبان الرملية الملاوية بمفردة
الثوابت دراسة حالة في عاصمة القاطن.
- ٣٥- الأسواق الدورية في منطقة حجازان : دراسة تحليلية عن التنظيم المكان والدور الاقتصادي.
٣٦- آثر استخدام المياه الجوفية على التربة وإنماجها بعض المحاصيل الزراعية بمختلف تربات.
٣٧- التوزيع المكان للسكان والتنمية في المملكة العربية السعودية في ١٣٩٤-١٤١٣هـ
- ٣٨- الأردوة المائية إلى منطقة الحرم بالمدينة المنورة
- ٣٩- مواقع المدارس وسائل رفع مستوى سلامة التلاميذ المرورية في مدينة الرياض
٤٠- تردد الرياح الشمالية وتباينها في المملكة العربية السعودية
- ٤١- الغري الماء في المملكة العربية السعودية : أبعادها الجغرافية والاقتصادية والاجتماعية
- ٤٢- خصائص الرياح بمحيط مصر وأهميتها للتخطيط والاستئثار السياسي
- ٤٣- تطور إنتاج حراطة المملكة العربية السعودية نصف قرن في دعم التنمية والتخطيط.
- ٤٤- تغيرات المساحة الصالحة وعلاقتها بالأمطار وأهميات التخطيط بالخصوص الميدوغولي لوادي الكير
الرمال (تلل القدسية-المرأز).
٤٥- تذكرة التحليل المورفومترى لشعب ناج
- ٤٦- سوروفولوجيا كوكسات مضبة ثدي: دراسة تطبيقية على حال الوطأة.
- ٤٧- الانتمال الناجي للسطح بين المملكة العربية السعودية ونصف الكره الشمالي.
- ٤٨- دور سلطنة النمسا في معايير تضييق التوازن الإنليبي في المملكة العربية السعودية: دراسة تقييمية لتجربة
النمساوية الإنليبية ما بين عامي ١٣٩٠-١٤١٥هـ.
- ٤٩- تطور التوزيع الجغرافي لمرض السل والانتشار في العالم.
- ٥٠- العلاقة بين كثبات الأمطار وارتفاع الماء الجوفي في سواد وادي محمرة بالسُّلْكَةِ الْعَرَبِيَّةِ السُّوَدَّاَةِ.
- ٥١- الصناعات الصغيرة في المملكة العربية السعودية.
- ٥٢- أوجه الشبه والاختلاف وأدائِ الكمال الفني والمهني بين المساحة التصويرية والاستشعار عن بعد.
- ٥٣- الخصائص المورفومترية لمروضي وادي عركان ووادي بيش بالسُّلْكَةِ الْعَرَبِيَّةِ السُّوَدَّاَةِ: دراسة تطبيقية
مقارنة.
- ٥٤- الشابن الإنليبي لتطور الصناعات الغذائية في المملكة العربية السعودية (١٤١٧-١٣٧٣هـ): تحليل جغرافي
- ٥٥- التوزيع الجغرافي للخدمات الصحية بمحيط مكة المكرمة.
- ٥٦- التركيب المعرفي الأشكال وأهميته على الوطن الزراعي بمحيط مكة المكرمة.
- ٥٧- شحاذة آثر تراكم أحطان الحراطة الطبوغرافية بمقياس ١:٥٠٠٠٠ على تحليل في ظلم المعلومات
الجغرافية.
- ٥٨- تظم المعلومات الجغرافية والتفصيل الموضوعي لحراثن التشتوات الإلكتروني الزراعية والرغوية في المملكة
العربية السعودية.
- ٥٩- أهمية شبكات الطرق في التنمية السياسية لمناطق المغير بالمنطقة الشرقية من المملكة العربية السعودية.
- ٦٠- معايير التنسنة الاقتصادية في المملكة العربية السعودية: دراسة جغرافية مقارنة

Price Listing Per Copy :

Individuals . 10 S.R.

Institutions . 15 S.R.

Handing & Mailing Charges are added on the above listing

أفضل البيع :

سر النسخة الواحدة لأعضاها : ١٠ روبلات سعودية.

سر النسخة الواحدة للرسائل : ١٥ روبلات سعودية.

تضاف إلى هذه الأسعار ثمن البريد .

عزيزني عضو الجمعية الجغرافية السعودية

هل غيرت عنوانك؟ فضلاً أملأ الاستمارة المرفقة وأرسلها على عنوان الجمعية

الاسم:

العنوان:

ص ب: المدينة والرمز البريدي:

البلد:

الاتصالات الهاتفية:

عمل: منزل:

جوال: بيجر:

بريد إلكتروني:

ترسل على العنوان التالي:

الجمعية الجغرافية السعودية

ص ب ٢٤٥٦ الرياض ١١٤٥١

المملكة العربية السعودية

هاتف: ٩٦٦ ٤٦٧٨٧٩٨ + فاكس: ٩٦٦ ٤٦٧٧٧٣٢

بريد إلكتروني: ssgs@ksu.edu.sa

كما يمكنكم زيارة موقع الجمعية على الإنترنت على العنوان التالي:

www.ksu.edu.sa/societies/ssgs/

CARTOGRAPHIC ANALYSIS OF ALMAZ SAR IMAGERY OF RIYADH

Prof. Abdullah Elsadig Ali

College of Engineering, King Saud University, Riyadh

Abstract

Almaz satellite ,flown by the Russian Space Corporation in 1991, was the first Russian satellite to carry a side-looking radar onboard for commercial purposes. One image of this satellite covering the city of Riyadh and surroundings was made available to the author for the purpose of attesting the cartographic accuracy of this new system for urban security, intelligence-gathering and related civilian mapping applications. The image was subjected to a series of experiments ranging from simple visual interpretation to applying highly sophisticated mathematical models to transform radar image coordinates from image system to ground coordinate system. The results showed that this Russian satellite radar system suffers from a multitude of geometric errors that seriously affected locational data-gathering. The interpretational part of the test revealed the fact that because of the special imaging characteristics of the radar system ,many of the important information could not be discerned. Furthermore, and because of the same reasons, a linear feature could, or could not, be identified simply because of its orientation with respect to the satellite ground track. Taking all of this into consideration, it is concluded that information-gathering from this system is possible only at scales 1/250 000 and smaller . Nevertheless, such information could be useful in cases when it is impossible or difficult to obtain data from other sources eg. during persistent dust storms or heavy rainfall since radar is immune from these natural events.

ISSN 1018-1423

●Administrative Board of the Saudi Geographical Society ●

Mohammed S. Makki	Prof.	Chairman.
Mohammed S. Al-Rebdi	Assoc. Prof.	Vice-Chairman.
Abdulah H. Al-Solai	Assoc. Prof.	Secretary General.
Mohammed A. Al-Fadhel	Assoc. Prof.	Treasurer.
Ali M. Alareshi	Prof.	Member.
Mohammed A. Meshkhes	Assoc. Prof.	Member.
Meraj N. Merza	Assis. Prof.	Member.
Anbara kh. Belal	Assis. Prof.	Member.
Mohammed A. Al-Rashed	Mr.	Member.

RESEARCH PAPERS IN GEOGRAPHY

OCCASIONAL REFEREED PAPERS PUBLISHED BY SAUDI GEOGRAPHICAL SOCIETY

61

Cartographic Analysis of Almaz Sar Imagery of Riyadh

Prof. Abdullah Elsadiq Ali

King Saud University - Riyadh
Kingdom of Saudi Arabia
1425 A.H. - 2005 A.D.

